

Fyzika laserů

Koherentní šíření impulzů

Další jevy v poloklasické aproximaci

Jan Šulc

Katedra fyzikální elektroniky
České vysoké učení technické
jan.sulc@fifi.cvut.cz

10. května 2022

1. **Kvantová teorie tlumení, řídicí rovnice**
2. **Aplikace na „atom“, Pauliho rovnice**
3. Poloklasický popis interakce záření s látkou
4. Aplikace na šíření rezonančního záření prostředím
5. Aplikace na laser – kontinuální režim
6. Aplikace na laser – Q-spínání
7. **Koherentní šíření impulzů**
8. **Další jevy v poloklasické aproximaci**
9. Spektrum laseru a režim synchronizace módů
10. **Kvantová teorie laseru, F.-P. rovnice**
11. **F.-P. rovnice pro záření a atom**
12. **F.-P. rovnice pro laser**
13. **Statistické vlastnosti laserového záření**

Záření elektromagnetická vlna, popisují MR **klasicky**

Záření elektromagnetická vlna, popisují MR **klasicky**

Prostředí soubor dvouhladinových **kvantových** soustav $\omega_{21} = (E_2 - E_1)/\hbar$, $|d_{21}|^2$

Záření elektromagnetická vlna, popisují MR **klasicky**

Prostředí soubor dvouhladinových **kvantových** soustav $\omega_{21} = (E_2 - E_1)/\hbar$, $|d_{21}|^2$

Interakce záření s hmotou prostřednictvím polarizace prostředí $\hat{W} = -\hat{d} \cdot \vec{E}(t)$

Záření elektromagnetická vlna, popisují MR **klasicky**

Prostředí soubor dvouhladinových **kvantových** soustav $\omega_{21} = (E_2 - E_1)/\hbar$, $|d_{21}|^2$

Interakce záření s **hmotou** prostřednictvím polarizace prostředí $\hat{W} = -\hat{d} \cdot \vec{E}(t)$

Odezva prostředí 3 vektorové parciální nelineární diferenciální rovnice 2. řádu pro \vec{E} , \vec{P} a N . Prostředí je pro rezonanční záření **disperzní** a **nelineární**

Záření elektromagnetická vlna, popisují MR **klasicky**

Prostředí soubor dvouhladinových **kvantových** soustav $\omega_{21} = (E_2 - E_1)/\hbar$, $|d_{21}|^2$

Interakce záření s hmotou prostřednictvím polarizace prostředí $\hat{W} = -\hat{d} \cdot \vec{E}(t)$

Odezva prostředí 3 vektorové parciální nelineární diferenciální rovnice 2. řádu pro \vec{E} , \vec{P} a N . Prostředí je pro rezonanční záření **disperzní** a **nelineární**

Signál pomalu proměnný impuls s harmonickou nosnou frekvencí $\omega \gg T_{\text{imp}}^{-1}$ v rezonanci ($\omega = \omega_{21}$) a bez fázové modulace \rightarrow tři rovnice pro obálku

$$\begin{aligned}\frac{\partial \mathcal{E}}{\partial z'} &= \frac{\mu_0 \omega_{21} c}{2} \mathcal{P}_2 \\ \frac{\partial \mathcal{P}_2}{\partial t'} &= -\frac{\mathcal{P}_2}{T_2} - \frac{|d_{21}|^2}{\hbar} \mathcal{E} N \\ \frac{\partial N}{\partial t'} &= -\frac{N - N_0}{T_1} + \frac{1}{\hbar} \mathcal{E} \mathcal{P}_2\end{aligned}$$

Záření elektromagnetická vlna, popisují MR **klasicky**

Prostředí soubor dvouhladinových **kvantových** soustav $\omega_{21} = (E_2 - E_1)/\hbar$, $|d_{21}|^2$

Interakce záření s hmotou prostřednictvím polarizace prostředí $\hat{W} = -\hat{d} \cdot \vec{E}(t)$

Odezva prostředí 3 vektorové parciální nelineární diferenciální rovnice 2. řádu pro \vec{E} , \vec{P} a N . Prostředí je pro rezonanční záření **disperzní** a **nelineární**

Signál pomalu proměnný impuls s harmonickou nosnou frekvencí $\omega \gg T_{\text{imp}}^{-1}$ v rezonanci ($\omega = \omega_{21}$) a bez fázové modulace \rightarrow tři rovnice pro obálku

$$\begin{aligned}\frac{\partial \mathcal{E}}{\partial z'} &= \frac{\mu_0 \omega_{21} c}{2} \mathcal{P}_2 \\ \frac{\partial \mathcal{P}_2}{\partial t'} &= -\frac{\mathcal{P}_2}{T_2} - \frac{|d_{21}|^2}{\hbar} \mathcal{E} N \\ \frac{\partial N}{\partial t'} &= -\frac{N - N_0}{T_1} + \frac{1}{\hbar} \mathcal{E} \mathcal{P}_2\end{aligned}$$

Rezonanční prostředí je **disperzní** susceptibilita je funkcí frekvence

Záření elektromagnetická vlna, popisují MR **klasicky**

Prostředí soubor dvouhladinových **kvantových** soustav $\omega_{21} = (E_2 - E_1)/\hbar$, $|d_{21}|^2$

Interakce záření s hmotou prostřednictvím polarizace prostředí $\hat{W} = -\hat{d} \cdot \vec{E}(t)$

Odezva prostředí 3 vektorové parciální nelineární diferenciální rovnice 2. řádu pro \vec{E} , \vec{P} a N . Prostředí je pro rezonanční záření **disperzní** a **nelineární**

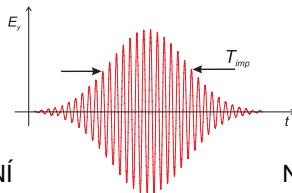
Signál pomalu proměnný impuls s harmonickou nosnou frekvencí $\omega \gg T_{\text{imp}}^{-1}$ v rezonanci ($\omega = \omega_{21}$) a bez fázové modulace \rightarrow tři rovnice pro obálku

$$\begin{aligned}\frac{\partial \mathcal{E}}{\partial z'} &= \frac{\mu_0 \omega_{21} c}{2} \mathcal{P}_2 \\ \frac{\partial \mathcal{P}_2}{\partial t'} &= -\frac{\mathcal{P}_2}{T_2} - \frac{|d_{21}|^2}{\hbar} \mathcal{E} N \\ \frac{\partial N}{\partial t'} &= -\frac{N - N_0}{T_1} + \frac{1}{\hbar} \mathcal{E} \mathcal{P}_2\end{aligned}$$

Rezonanční prostředí je **disperzní** susceptibilita je funkcí frekvence

Rezonanční prostředí je **nelineární** v blízkosti rezonanční frekvence může v závislosti na obsazení hladin docházet k pohlcení nebo zesílení záření (susceptibilita je komplexní)

- ▶ Charakter šíření určuje délka obálky impulsu T_{imp} v porovnání s relaxačními časy T_1 a T_2



KOHERENTNÍ

$$T_{imp} \ll T_1, T_2$$

NEKOHERENTNÍ

$$T_{imp} \gg T_1, T_2$$

APROXIMACE
RYCHLOSTNÍCH ROVNIC

$$T_2 \ll T_{imp} \ll T_1$$

$$\frac{\partial \mathcal{E}}{\partial z'} = \frac{\mu_0 \omega_{21} c}{2} \mathcal{P}_2$$

$$\frac{\partial \mathcal{P}_2}{\partial t'} = -\frac{\mathcal{P}_2}{T_2} - \frac{|d_{21}|^2}{\hbar} \mathcal{E} N$$

$$\frac{\partial N}{\partial t'} = -\frac{N - N_0}{T_1} + \frac{1}{\hbar} \mathcal{E} \mathcal{P}_2$$

- Pokud můžeme předpokládat **přesnou rezonanci** ($\Delta\omega = 0$) a **signál bez fázové modulace** ($\partial\Phi/\partial t = 0$), potom i $\mathcal{P}_1 = 0$ a šíření rezonančního záření dvouhladinovým prostředím je popsáno soustavou tří rovnic:

$$\begin{aligned}\frac{\partial\mathcal{E}}{\partial z'} &= -\frac{\mu_0\omega_{21}c}{2}\mathcal{P}_2 \\ \frac{\partial\mathcal{P}_2}{\partial t'} &= -\frac{\mathcal{P}_2}{T_2} - \frac{|d_{21}|^2}{\hbar}\mathcal{E}N \\ \frac{\partial N}{\partial t'} &= -\frac{N - N_0}{T_1} + \frac{1}{\hbar}\mathcal{E}\mathcal{P}_2\end{aligned}$$

- ▶ Pokud můžeme předpokládat **přesnou rezonanci** ($\Delta\omega = 0$) a **signál bez fázové modulace** ($\partial\Phi/\partial t = 0$), potom i $\mathcal{P}_1 = 0$ a šíření rezonančního záření dvouhladinovým prostředím je popsáno soustavou tří rovnic:

$$\begin{aligned}\frac{\partial\mathcal{E}}{\partial z'} &= -\frac{\mu_0\omega_{21}c}{2}\mathcal{P}_2 \\ \frac{\partial\mathcal{P}_2}{\partial t'} &= -\frac{\mathcal{P}_2}{T_2} - \frac{|d_{21}|^2}{\hbar}\mathcal{E}N \\ \frac{\partial N}{\partial t'} &= -\frac{N - N_0}{T_1} + \frac{1}{\hbar}\mathcal{E}\mathcal{P}_2\end{aligned}$$

- ▶ Pokud jsou charakteristické časy změn \mathcal{E} , \mathcal{P}_2 , N mnohem kratší než obě relaxační doby T_1 a T_2 , neuplatňuje se vliv tlumícího systému. Je možné zanedbat relaxační členy s T_1 a T_2 .

$$\begin{aligned}\frac{\partial\mathcal{E}}{\partial z'} &= -\frac{\mu_0\omega_{21}c}{2}\mathcal{P}_2 \\ \frac{\partial\mathcal{P}_2}{\partial t'} &= -\frac{|d_{21}|^2}{\hbar}\mathcal{E}N \\ \frac{\partial N}{\partial t'} &= \frac{1}{\hbar}\mathcal{E}\mathcal{P}_2\end{aligned}$$

- ▶ Koherentní odezvu prostředí popisují rovnice:

$$\frac{\partial \mathcal{P}_2}{\partial t'} = -\frac{|d_{21}|^2}{\hbar} \mathcal{E} N$$

$$\frac{\partial N}{\partial t'} = \frac{1}{\hbar} \mathcal{E} \mathcal{P}_2$$

- ▶ Koherentní odezvu prostředí popisují rovnice:

$$\begin{aligned}\frac{\partial \mathcal{P}_2}{\partial t'} &= -\frac{|\mathbf{d}_{21}|^2}{\hbar} \mathcal{E} N \\ \frac{\partial N}{\partial t'} &= \frac{1}{\hbar} \mathcal{E} \mathcal{P}_2\end{aligned}$$

- ▶ Rovnici pro polarizaci vynásobíme výrazem $\mathcal{P}_2/|\vec{\mathbf{d}}_{21}|^2$:

$$\frac{\mathcal{P}_2}{|\vec{\mathbf{d}}_{21}|^2} \frac{\partial \mathcal{P}_2}{\partial t'} = -\frac{\mathcal{P}_2}{|\vec{\mathbf{d}}_{21}|^2} \frac{|\mathbf{d}_{21}|^2}{\hbar} \mathcal{E} N \quad \Rightarrow \quad \frac{1}{2} \frac{\partial}{\partial t'} \frac{\mathcal{P}_2^2}{|\vec{\mathbf{d}}_{21}|^2} = -\frac{1}{\hbar} N \mathcal{E} \mathcal{P}_2$$

- ▶ Koherentní odezvu prostředí popisují rovnice:

$$\begin{aligned}\frac{\partial \mathcal{P}_2}{\partial t'} &= -\frac{|\mathbf{d}_{21}|^2}{\hbar} \mathcal{E} N \\ \frac{\partial N}{\partial t'} &= \frac{1}{\hbar} \mathcal{E} \mathcal{P}_2\end{aligned}$$

- ▶ Rovnici pro polarizaci vynásobíme výrazem $\mathcal{P}_2/|\vec{\mathbf{d}}_{21}|^2$:

$$\frac{\mathcal{P}_2}{|\vec{\mathbf{d}}_{21}|^2} \frac{\partial \mathcal{P}_2}{\partial t'} = -\frac{\mathcal{P}_2}{|\vec{\mathbf{d}}_{21}|^2} \frac{|\mathbf{d}_{21}|^2}{\hbar} \mathcal{E} N \quad \Rightarrow \quad \frac{1}{2} \frac{\partial}{\partial t'} \frac{\mathcal{P}_2^2}{|\vec{\mathbf{d}}_{21}|^2} = -\frac{1}{\hbar} N \mathcal{E} \mathcal{P}_2$$

- ▶ Rovnici pro inverzi vynásobíme N

$$N \frac{\partial N}{\partial t'} = \frac{1}{\hbar} N \mathcal{E} \mathcal{P}_2 \quad \Rightarrow \quad \frac{1}{2} \frac{\partial N^2}{\partial t'} = \frac{1}{\hbar} N \mathcal{E} \mathcal{P}_2$$

- ▶ Koherentní odezvu prostředí popisují rovnice:

$$\begin{aligned}\frac{\partial \mathcal{P}_2}{\partial t'} &= -\frac{|\mathbf{d}_{21}|^2}{\hbar} \mathcal{E} N \\ \frac{\partial N}{\partial t'} &= \frac{1}{\hbar} \mathcal{E} \mathcal{P}_2\end{aligned}$$

- ▶ Rovnici pro polarizaci vynásobíme výrazem $\mathcal{P}_2/|\vec{\mathbf{d}}_{21}|^2$:

$$\frac{\mathcal{P}_2}{|\vec{\mathbf{d}}_{21}|^2} \frac{\partial \mathcal{P}_2}{\partial t'} = -\frac{\mathcal{P}_2}{|\vec{\mathbf{d}}_{21}|^2} \frac{|\mathbf{d}_{21}|^2}{\hbar} \mathcal{E} N \Rightarrow \frac{1}{2} \frac{\partial}{\partial t'} \frac{\mathcal{P}_2^2}{|\vec{\mathbf{d}}_{21}|^2} = -\frac{1}{\hbar} N \mathcal{E} \mathcal{P}_2$$

- ▶ Rovnici pro inverzi vynásobíme N

$$N \frac{\partial N}{\partial t'} = \frac{1}{\hbar} N \mathcal{E} \mathcal{P}_2 \Rightarrow \frac{1}{2} \frac{\partial N^2}{\partial t'} = \frac{1}{\hbar} N \mathcal{E} \mathcal{P}_2$$

- ▶ Obě rovnice sečteme, snadno ukážeme, že:

$$\frac{\mathcal{P}_2^2}{|\vec{\mathbf{d}}_{21}|^2} + N^2 = \text{konst.} = r^2,$$

je **časový invariant**.

- ▶ Časový invariant:

$$\frac{\mathcal{P}_2^2}{|\vec{d}_{21}|^2} + N^2 = \text{konst.} = r^2,$$

- ▶ Časový invariant:

$$\frac{\mathcal{P}_2^2}{|\vec{d}_{21}|^2} + N^2 = \text{konst.} = r^2,$$

- ▶ V rovině $(\mathcal{P}_2/|\vec{d}_{21}|, N)$ vektor $\vec{r} = (\mathcal{P}_2/|\vec{d}_{21}|, N)$ představuje řešení rovnic pro polarizaci a inverzi populace hladin.

- ▶ Časový invariant:

$$\frac{\mathcal{P}_2^2}{|\vec{d}_{21}|^2} + N^2 = \text{konst.} = r^2,$$

- ▶ V rovině $(\mathcal{P}_2/|\vec{d}_{21}|, N)$ vektor $\vec{r} = (\mathcal{P}_2/|\vec{d}_{21}|, N)$ představuje řešení rovnic pro polarizaci a inverzi populace hladin.
- ▶ Při šíření impulzu prostředím se zachovává velikost $(\mathcal{P}_2/|\vec{d}_{21}|, N)$ a koncový bod vektoru \vec{r} se pohybuje po kružnici s poloměrem r , který je daný stavem prostředí před příchodem impulzu (\mathcal{P}_{20} a N_0):

$$r^2 = \frac{\mathcal{P}_{20}^2}{|\vec{d}_{21}|^2} + N_0^2,$$

- ▶ Rovnice pro odezvu převedeme do polárních souřadnic. Zavedeme-li novou proměnnou ψ (úhel, který svírá vektor \vec{r} s osou N) transformačními vztahy (DC):

$$\frac{\mathcal{P}_2}{|\vec{d}_{21}|} = \frac{\mathcal{P}_{20}}{|\vec{d}_{21}|} \cos \psi - N_0 \sin \psi,$$
$$N = \frac{\mathcal{P}_{20}}{|\vec{d}_{21}|} \sin \psi + N_0 \cos \psi,$$

- ▶ Rovnice pro odezvu převedeme do polárních souřadnic. Zavedeme-li novou proměnnou ψ (úhel, který svírá vektor \vec{r} s osou N) transformačními vztahy (DC):

$$\frac{\mathcal{P}_2}{|\vec{d}_{21}|} = \frac{\mathcal{P}_{20}}{|\vec{d}_{21}|} \cos \psi - N_0 \sin \psi,$$
$$N = \frac{\mathcal{P}_{20}}{|\vec{d}_{21}|} \sin \psi + N_0 \cos \psi,$$

- ▶ Po dosazení do rovnice pro polarizaci nebo inverzi populace hladin zjistíme, že úhel ψ musí vyhovovat rovnici (DC):

$$\frac{\partial \psi}{\partial t} = \frac{|\vec{d}_{21}|}{\hbar} \mathcal{E}(t).$$

- ▶ Rovnice pro odezvu převedeme do polárních souřadnic. Zavedeme-li novou proměnnou ψ (úhel, který svírá vektor \vec{r} s osou N) transformačními vztahy (DC):

$$\begin{aligned}\frac{\mathcal{P}_2}{|\vec{d}_{21}|} &= \frac{\mathcal{P}_{20}}{|\vec{d}_{21}|} \cos \psi - N_0 \sin \psi, \\ N &= \frac{\mathcal{P}_{20}}{|\vec{d}_{21}|} \sin \psi + N_0 \cos \psi,\end{aligned}$$

- ▶ Po dosazení do rovnice pro polarizaci nebo inverzi populace hladin zjistíme, že úhel ψ musí vyhovovat rovnici (DC):

$$\frac{\partial \psi}{\partial t} = \frac{|\vec{d}_{21}|}{\hbar} \mathcal{E}(t).$$

- ▶ Odtud integrací:

$$\psi(t) = \psi(t_0) + \int_{t_0}^t \frac{|\vec{d}_{21}|}{\hbar} \mathcal{E}(t') dt',$$

úhel $\psi(t_0)$ je úhel před příchodem impulzu.

- ▶ Rovnice pro odezvu převedeme do polárních souřadnic. Zavedeme-li novou proměnnou ψ (úhel, který svírá vektor \vec{r} s osou N) transformačními vztahy (DC):

$$\begin{aligned}\frac{\mathcal{P}_2}{|\vec{d}_{21}|} &= \frac{\mathcal{P}_{20}}{|\vec{d}_{21}|} \cos \psi - N_0 \sin \psi, \\ N &= \frac{\mathcal{P}_{20}}{|\vec{d}_{21}|} \sin \psi + N_0 \cos \psi,\end{aligned}$$

- ▶ Po dosazení do rovnice pro polarizaci nebo inverzi populace hladin zjistíme, že úhel ψ musí vyhovovat rovnici (DC):

$$\frac{\partial \psi}{\partial t} = \frac{|\vec{d}_{21}|}{\hbar} \mathcal{E}(t).$$

- ▶ Odtud integrací:

$$\psi(t) = \psi(t_0) + \int_{t_0}^t \frac{|\vec{d}_{21}|}{\hbar} \mathcal{E}(t') dt',$$

úhel $\psi(t_0)$ je úhel před příchodem impulzu.

- ▶ O úhlu stočení vektoru ($\mathcal{P}_2/|\vec{d}_{21}|$, N) tedy rozhoduje plocha (integrál průběhu) impulzu.

- ▶ Prochází-li prostředím impulz, trvající krátkou dobu, otočí se uvažovaný vektor \vec{r} o úhel:

$$\theta = \psi(\infty) - \psi(-\infty) = \int_{-\infty}^{\infty} \frac{|\vec{d}_{21}|}{\hbar} \mathcal{E}(t) dt.$$

- ▶ Prochází-li prostředím impulz, trvající krátkou dobu, otočí se uvažovaný vektor \vec{r} o úhel:

$$\theta = \psi(\infty) - \psi(-\infty) = \int_{-\infty}^{\infty} \frac{|\vec{d}_{21}|}{\hbar} \mathcal{E}(t) dt.$$

- ▶ Úhel θ bývá označován jako **plocha impulzu**.

- ▶ Prochází-li prostředím impulz, trvající krátkou dobu, otočí se uvažovaný vektor \vec{r} o úhel:

$$\theta = \psi(\infty) - \psi(-\infty) = \int_{-\infty}^{\infty} \frac{|\vec{d}_{21}|}{\hbar} \mathcal{E}(t) dt.$$

- ▶ Úhel θ bývá označován jako **plocha impulzu**.
- ▶ Impulzy různého tvaru mohou mít stejnou „plochu“.

$$\theta = \psi(\infty) - \psi(-\infty) = \int_{-\infty}^{\infty} \frac{|\vec{d}_{21}|}{\hbar} \mathcal{E}(t) dt.$$

- ▶ Je-li plocha impulzu $\theta = \pi$, dochází k maximální změně stavu rezonančního prostředí.

$$\theta = \psi(\infty) - \psi(-\infty) = \int_{-\infty}^{\infty} \frac{|\vec{d}_{21}|}{\hbar} \mathcal{E}(t) dt.$$

- ▶ Je-li plocha impulzu $\theta = 2\pi$, nezpůsobí průchod prostředím žádnou změnu inverze ani polarizace prostředí.

$$\theta = \psi(\infty) - \psi(-\infty) = \int_{-\infty}^{\infty} \frac{|\vec{d}_{21}|}{\hbar} \mathcal{E}(t) dt.$$

- ▶ Je-li plocha impulzu $\theta = 2\pi$, nezpůsobí průchod prostředím žádnou změnu inverze ani polarizace prostředí.

- ▶ Impulz projde a zanechá zesilující nebo zeslabující prostředí beze změny. 

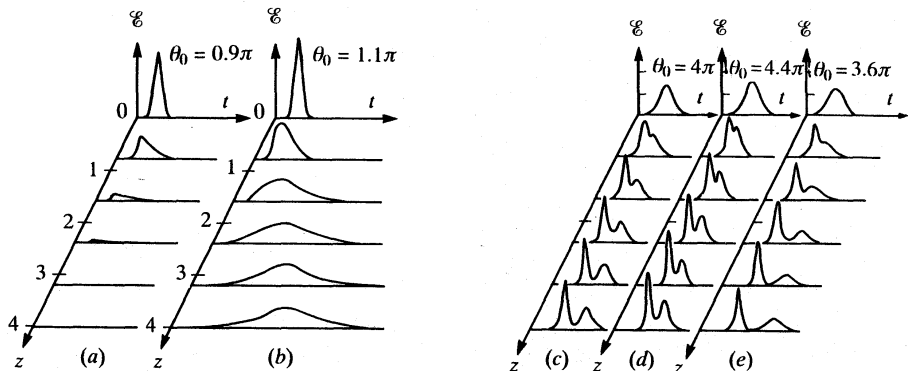


Fig. 16.7 Computer solutions showing the propagation of pulses of various areas. Distance z is measured in units of π/α . In the first example (a) the pulse is absorbed, and in example (b) it is reshaped to a hyperbolic secant form. In (c), (d) and (e) the pulse breaks up into two separate 2π hyperbolic secant pulses. (Reproduced from McCall and Hahn, 1969.)

$$\Omega = \frac{\partial\psi}{\partial t} = \frac{|\vec{d}_{21}|}{\hbar} \mathcal{E}(t).$$

- ▶ Okamžitá úhlová frekvence otáčení $\Omega = \partial\psi/\partial t$ vektoru $(\mathcal{P}_2/|\vec{d}_{21}|, N)$ je dána amplitudou intenzity elektrického pole a závisí na velikosti maticového elementu dipólového momentu příslušného kvantového přechodu. Tato frekvence bývá označována jako **Rabiova frekvence**.

$$\theta = \psi(\infty) - \psi(-\infty) = \int_{-\infty}^{\infty} \frac{|\vec{d}_{21}|}{\hbar} \mathcal{E}(t) dt.$$

- ▶ Samoindukovaná propustnost je koherentní jev, při kterém dochází k interakci impulzu rezonančního záření s kvantovými systémy, přičemž stav kvantových soustav i tvar impulzu jsou před a po průchodu impulzu stejné.

- ▶ Samoindukovaná propustnost je koherentní jev, při kterém dochází k interakci impulzu rezonančního záření s kvantovými systémy, přičemž stav kvantových soustav i tvar impulzu jsou před a po průchodu impulzu stejné.
- ▶ Uvažujme o absorbujícím dvouhladinovém prostředí s počátečním rozdílem populací hladin $N_0 < 0$ a předpokládejme, že prostředí je ve stacionárním stavu s polarizací $P_{20} = 0$.

- ▶ Samoindukovaná propustnost je koherentní jev, při kterém dochází k interakci impulzu rezonančního záření s kvantovými systémy, přičemž stav kvantových soustav i tvar impulzu jsou před a po průchodu impulzu stejné.
- ▶ Uvažujme o absorbujícím dvouhladinovém prostředí s počátečním rozdílem populací hladin $N_0 < 0$ a předpokládejme, že prostředí je ve stacionárním stavu s polarizací $P_{20} = 0$.
- ▶ Dosazením za \mathcal{E} z rovnice

$$\frac{\partial \psi}{\partial t} = \frac{|\vec{d}_{21}|}{\hbar} \mathcal{E}$$

do vlnové rovnice

$$\frac{\partial \mathcal{E}}{\partial z'} = -\frac{\mu_0 \omega_{21} c}{2} \mathcal{P}_2$$

a dostáváme parciální diferenciální rovnici ($\mathcal{P}_{20} \equiv 0$, tj. $\mathcal{P}_2 = -|\vec{d}_{21}| N_0 \sin(\psi)$):

$$\frac{\partial^2 \psi}{\partial z' \partial t} = \frac{\mu_0 \omega_{21} c |\vec{d}_{21}|^2 N_0}{2\hbar} \sin(\psi).$$

- ▶ Samoindukovaná propustnost je koherentní jev, při kterém dochází k interakci impulzu rezonančního záření s kvantovými systémy, přičemž stav kvantových soustav i tvar impulzu jsou před a po průchodu impulzu stejné.
- ▶ Uvažujme o absorbujiícím dvouhladinovém prostředí s počátečním rozdílem populací hladin $N_0 < 0$ a předpokládejme, že prostředí je ve stacionárním stavu s polarizací $P_{20} = 0$.
- ▶ Dosazením za \mathcal{E} z rovnice

$$\frac{\partial \psi}{\partial t} = \frac{|\vec{d}_{21}|}{\hbar} \mathcal{E}$$

do vlnové rovnice

$$\frac{\partial \mathcal{E}}{\partial z'} = -\frac{\mu_0 \omega_{21} c}{2} \mathcal{P}_2$$

a dostáváme parciální diferenciální rovnici ($\mathcal{P}_{20} \equiv 0$, tj. $\mathcal{P}_2 = -|\vec{d}_{21}| N_0 \sin(\psi)$):

$$\frac{\partial^2 \psi}{\partial z' \partial t} = \frac{\mu_0 \omega_{21} c |\vec{d}_{21}|^2 N_0}{2\hbar} \sin(\psi).$$

- ▶ Zvláštními řešeními této tzv. **sine-Gordonovy rovnice** jsou **solitony**, tj. amplitudové obálky, které se v procesu šíření nemění.

- ▶ Soliton – řešením sine-Gordonovy rovnice (DC 3.5):¹

$$\mathcal{E}(z, t) = \frac{2\hbar\alpha}{|\vec{d}_{21}|} \operatorname{sech} \left[\alpha \left(t - \frac{z}{v} \right) \right],$$

kde:

$$\alpha^2 = -\frac{\mu_0\omega_{21}c|\vec{d}_{21}|^2N_0}{2\hbar} \frac{cv}{c-v}.$$

¹ $\operatorname{sech}(x) = 2/(\exp(x) + \exp(-x))$

- ▶ Soliton – řešením sine-Gordonovy rovnice (DC 3.5):¹

$$\mathcal{E}(z, t) = \frac{2\hbar\alpha}{|\vec{d}_{21}|} \operatorname{sech} \left[\alpha \left(t - \frac{z}{v} \right) \right],$$

kde:

$$\alpha^2 = -\frac{\mu_0\omega_{21}c|\vec{d}_{21}|^2N_0}{2\hbar} \frac{cv}{c-v}.$$

- ▶ Protože $\psi(\infty) - \psi(-\infty) = 2\pi$, je impulz solitonovým řešením. Prochází beze změny tvaru prostředím a stav prostředí neovlivňuje.

¹ $\operatorname{sech}(x) = 2/(\exp(x) + \exp(-x))$

- ▶ Soliton – řešením sine-Gordonovy rovnice (DC 3.5):¹

$$\mathcal{E}(z, t) = \frac{2\hbar\alpha}{|\vec{d}_{21}|} \operatorname{sech} \left[\alpha \left(t - \frac{z}{v} \right) \right],$$

kde:

$$\alpha^2 = -\frac{\mu_0\omega_{21}c|\vec{d}_{21}|^2N_0}{2\hbar} \frac{cv}{c-v}.$$

- ▶ Protože $\psi(\infty) - \psi(-\infty) = 2\pi$, je impuls solitonovým řešením. Prochází beze změny tvaru prostředím a stav prostředí neovlivňuje.
- ▶ Tento jev se nazývá **samoindukovanou propustností**.

¹ $\operatorname{sech}(x) = 2/(\exp(x) + \exp(-x))$

- ▶ Soliton – řešením sine-Gordonovy rovnice (DC 3.5):¹

$$\mathcal{E}(z, t) = \frac{2\hbar\alpha}{|\vec{d}_{21}|} \operatorname{sech} \left[\alpha \left(t - \frac{z}{v} \right) \right],$$

kde:

$$\alpha^2 = -\frac{\mu_0\omega_{21}c|\vec{d}_{21}|^2N_0}{2\hbar} \frac{cv}{c-v}.$$

- ▶ Protože $\psi(\infty) - \psi(-\infty) = 2\pi$, je impulz solitonovým řešením. Prochází beze změny tvaru prostředím a stav prostředí neovlivňuje.
- ▶ Tento jev se nazývá **samoindukovanou propustností**.
- ▶ Uvedené řešení je takzvaný **základní soliton** nebo soliton 1. řádu a není jediným možným solitonem.

¹ $\operatorname{sech}(x) = 2 / (\exp(x) + \exp(-x))$

- ▶ Soliton – řešením sine-Gordonovy rovnice (DC 3.5):¹

$$\mathcal{E}(z, t) = \frac{2\hbar\alpha}{|\vec{d}_{21}|} \operatorname{sech} \left[\alpha \left(t - \frac{z}{v} \right) \right],$$

kde:

$$\alpha^2 = -\frac{\mu_0\omega_{21}c|\vec{d}_{21}|^2N_0}{2\hbar} \frac{cv}{c-v}.$$

- ▶ Protože $\psi(\infty) - \psi(-\infty) = 2\pi$, je impuls solitonovým řešením. Prochází beze změny tvaru prostředím a stav prostředí neovlivňuje.
- ▶ Tento jev se nazývá **samoindukovanou propustností**.
- ▶ Uvedené řešení je takzvaný **základní soliton** nebo soliton 1. řádu a není jediným možným solitonem.
- ▶ Všechny $2n\pi$ impulzy (kde n je celé číslo) neovlivňují stav prostředí a vykazují samoindukovanou propustnost.

¹ $\operatorname{sech}(x) = 2/(\exp(x) + \exp(-x))$

- ▶ Soliton – řešením sine-Gordonovy rovnice (DC 3.5):¹

$$\mathcal{E}(z, t) = \frac{2\hbar\alpha}{|\vec{d}_{21}|} \operatorname{sech} \left[\alpha \left(t - \frac{z}{v} \right) \right],$$

kde:

$$\alpha^2 = -\frac{\mu_0\omega_{21}c|\vec{d}_{21}|^2N_0}{2\hbar} \frac{cv}{c-v}.$$

- ▶ Protože $\psi(\infty) - \psi(-\infty) = 2\pi$, je impuls solitonovým řešením. Prochází beze změny tvaru prostředím a stav prostředí neovlivňuje.
- ▶ Tento jev se nazývá **samoindukovanou propustností**.
- ▶ Uvedené řešení je takzvaný **základní soliton** nebo soliton 1. řádu a není jediným možným solitonem.
- ▶ Všechny $2n\pi$ impulzy (kde n je celé číslo) neovlivňují stav prostředí a vykazují samoindukovanou propustnost.
- ▶ Solitony vyšších řádů nemají tak jednoduchou závislost amplitudové obálky na souřadnicích, dokonce se ani jejich obálka nemusí zachovávat během šíření, ale může se vždy po určitých vzdálenostech rekonstruovat.

¹ $\operatorname{sech}(x) = 2 / (\exp(x) + \exp(-x))$

- ▶ Soliton – řešením sine-Gordonovy rovnice (DC 3.5):¹

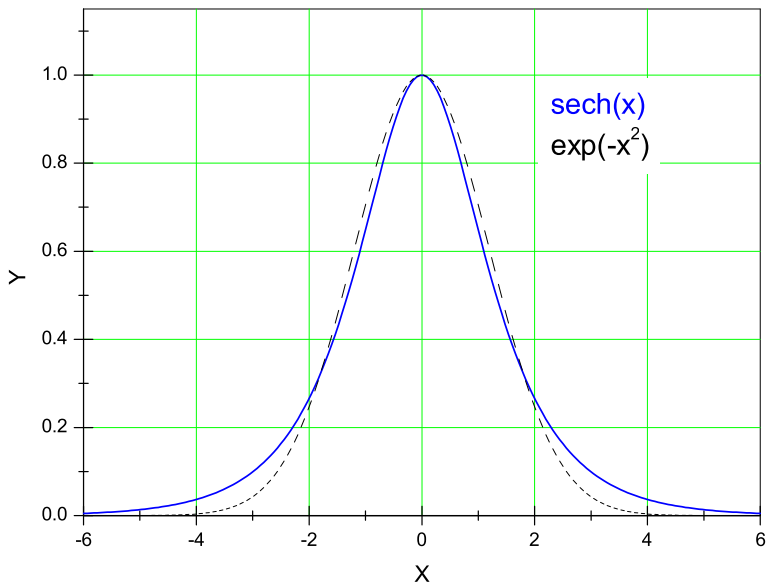
$$\mathcal{E}(z, t) = \frac{2\hbar\alpha}{|\vec{d}_{21}|} \operatorname{sech} \left[\alpha \left(t - \frac{z}{v} \right) \right],$$

kde:

$$\alpha^2 = -\frac{\mu_0\omega_{21}c|\vec{d}_{21}|^2N_0}{2\hbar} \frac{cv}{c-v}.$$

- ▶ Protože $\psi(\infty) - \psi(-\infty) = 2\pi$, je impulz solitonovým řešením. Prochází beze změny tvaru prostředím a stav prostředí neovlivňuje.
- ▶ Tento jev se nazývá **samoindukovanou propustností**.
- ▶ Uvedené řešení je takzvaný **základní soliton** nebo soliton 1. řádu a není jediným možným solitonem.
- ▶ Všechny $2n\pi$ impulzy (kde n je celé číslo) neovlivňují stav prostředí a vykazují samoindukovanou propustnost.
- ▶ Solitony vyšších řádů nemají tak jednoduchou závislost amplitudové obálky na souřadnicích, dokonce se ani jejich obálka nemusí zachovávat během šíření, ale může se vždy po určitých vzdálenostech rekonstruovat.
- ▶ Aby tento soliton vznikl, musí být záření v rezonanci s prostředím.

¹ $\operatorname{sech}(x) = 2 / (\exp(x) + \exp(-x))$



Koherentní šíření prostředím s nehomogenním rozšířením spektrální čáry

Vzhledem k rozladění frekvencí jednotlivých podsouborů není možné signálovou frekvenci přesně naladit pro všechny podsoubory. I pro popis šíření záření bez fázové modulace je proto nezbytné zahrnout také popis chování reaktivní složky polarizace \mathcal{P}_1 a řešit pro všechny podsoubory definovanými rozladěním $\Delta\omega$ systém rovnic:

$$\frac{\partial \mathcal{E}(\mathbf{z}, t)}{\partial \mathbf{z}} + \frac{1}{c} \frac{\partial \mathcal{E}(\mathbf{z}, t)}{\partial t} = -\frac{\mu_0 \omega_{21} c_0}{2} \mathcal{P}_2(\mathbf{z}, t, \Delta\omega), \quad (1)$$

$$\frac{\partial}{\partial t} \mathcal{P}_1(\mathbf{z}, t, \Delta\omega) = -\Delta\omega \mathcal{P}_2(\mathbf{z}, t, \Delta\omega), \quad (2)$$

$$\frac{\partial}{\partial t} \mathcal{P}_2(\mathbf{z}, t, \Delta\omega) = \Delta\omega \mathcal{P}_1(\mathbf{z}, t, \Delta\omega) - \frac{|\vec{d}_{21}|^2}{\hbar} \mathcal{E}(\mathbf{z}, t) N(\mathbf{z}, t, \Delta\omega), \quad (3)$$

$$\frac{\partial}{\partial t} N(\mathbf{z}, t, \Delta\omega) = \frac{1}{\hbar} \mathcal{E}(\mathbf{z}, t) \mathcal{P}_2(\mathbf{z}, t, \Delta\omega). \quad (4)$$

Rovnici (2) násobíme \mathcal{P}_1 , rovnici (3) násobíme \mathcal{P}_2 , rovnici (4) násobíme N a sečteme.

- ▶ Z rovnic (2) až (4), je možné určit invariant ve tvaru součtu (DC 3.7):

$$\left(\frac{\mathcal{P}_1(\mathbf{z}, t, \Delta\omega)}{|\vec{d}_{21}|} \right)^2 + \left(\frac{\mathcal{P}_2(\mathbf{z}, t, \Delta\omega)}{|\vec{d}_{21}|} \right)^2 + N(\mathbf{z}, t, \Delta\omega)^2 = R^2.$$

Koherentní šíření prostředím s nehomogenním rozšířením spektrální čáry

- ▶ Z rovnic (2) až (4), je možné určit invariant ve tvaru součtu (DC 3.7):

$$\left(\frac{\mathcal{P}_1(\mathbf{z}, t, \Delta\omega)}{|\vec{d}_{21}|} \right)^2 + \left(\frac{\mathcal{P}_2(\mathbf{z}, t, \Delta\omega)}{|\vec{d}_{21}|} \right)^2 + N(\mathbf{z}, t, \Delta\omega)^2 = R^2.$$

- ▶ Ve třírozměrné reprezentaci je řešení možné hledat jako vektor $\vec{R} = (\mathcal{P}_1/|\vec{d}_{21}|, \mathcal{P}_2/|\vec{d}_{21}|, N)$ pohybující se po povrchu koule.

Koherentní šíření prostředím s nehomogenním rozšířením spektrální čáry

- ▶ Z rovnic (2) až (4), je možné určit invariant ve tvaru součtu (DC 3.7):

$$\left(\frac{\mathcal{P}_1(\mathbf{z}, t, \Delta\omega)}{|\vec{d}_{21}|} \right)^2 + \left(\frac{\mathcal{P}_2(\mathbf{z}, t, \Delta\omega)}{|\vec{d}_{21}|} \right)^2 + N(\mathbf{z}, t, \Delta\omega)^2 = R^2.$$

- ▶ Ve třírozměrné reprezentaci je řešení možné hledat jako vektor $\vec{R} = (\mathcal{P}_1/|\vec{d}_{21}|, \mathcal{P}_2/|\vec{d}_{21}|, N)$ pohybující se po povrchu koule.
- ▶ Řešení bude jen funkcí úhlu ψ , který svírá vektor \vec{R} s osou z , a úhlu δ , který svírá vektor $(\mathcal{P}_1/|\vec{d}_{21}|, \mathcal{P}_2/|\vec{d}_{21}|)$ v rovině $z = 0$ s osou x .

Koherentní šíření prostředím s nehomogenním rozšířením spektrální čáry

- ▶ Z rovnic (2) až (4), je možné určit invariant ve tvaru součtu (DC 3.7):

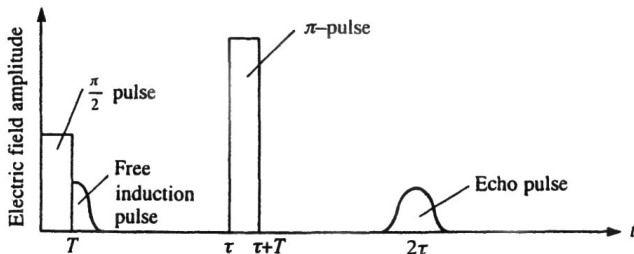
$$\left(\frac{\mathcal{P}_1(z, t, \Delta\omega)}{|\vec{d}_{21}|} \right)^2 + \left(\frac{\mathcal{P}_2(z, t, \Delta\omega)}{|\vec{d}_{21}|} \right)^2 + N(z, t, \Delta\omega)^2 = R^2.$$

- ▶ Ve třírozměrné reprezentaci je řešení možné hledat jako vektor $\vec{R} = (\mathcal{P}_1/|\vec{d}_{21}|, \mathcal{P}_2/|\vec{d}_{21}|, N)$ pohybující se po povrchu koule.
- ▶ Řešení bude jen funkcí úhlu ψ , který svírá vektor \vec{R} s osou z , a úhlu δ , který svírá vektor $(\mathcal{P}_1/|\vec{d}_{21}|, \mathcal{P}_2/|\vec{d}_{21}|)$ v rovině $z = 0$ s osou x .
- ▶ Pohyb tohoto vektoru má dvě složky: rotaci kolem osy z úhlovou frekvencí $\Delta\omega$ a otáčení kolem osy kolmé k z a k okamžitému směru průmětu \vec{R} do roviny x, y .

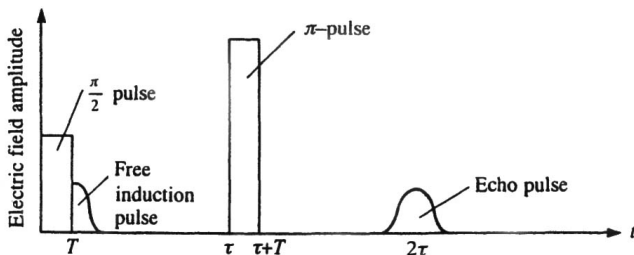
- ▶ Fotonové echo je impulz optického záření, který vysílá rezonanční prostředí s nehomogenně rozšířenou spektrální čarou jako zpožděnou odezvu na dva za sebou jdoucí velmi krátké impulzy optického záření.

- ▶ Fotonové echo je impulz optického záření, který vysílá rezonanční prostředí s nehomogenně rozšířenou spektrální čarou jako zpožděnou odezvu na dva za sebou jdoucí velmi krátké impulzy optického záření.
- ▶ Podmínkou pro vznik fotonového echa je, aby zpoždění druhého impulzu vzhledem k prvnímu bylo velmi malé ve srovnání s relaxačními časy T_1 i T_2 .

- ▶ Fotonové echo je impulz optického záření, který vysílá rezonanční prostředí s nehomogenně rozšířenou spektrální čarou jako zpožděnou odezvu na dva za sebou jdoucí velmi krátké impulzy optického záření.
- ▶ Podmínkou pro vznik fotonového echa je, aby zpoždění druhého impulzu vzhledem k prvnímu bylo velmi malé ve srovnání s relaxačními časy T_1 i T_2 .
- ▶ Jev je nejvýraznější, když je plocha prvního impulzu rovna $\pi/2$ (impulz vybudí maximální dipólový moment u všech kvantových soustav – atomů) a současně plocha druhého impulzu je rovna π .

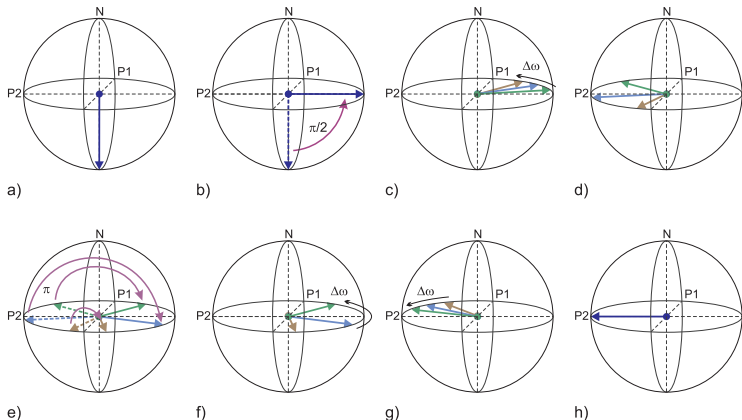


- ▶ Fotonové echo je impulz optického záření, který vysílá rezonanční prostředí s nehomogenně rozšířenou spektrální čarou jako zpožděnou odezvu na dva za sebou jdoucí velmi krátké impulzy optického záření.
- ▶ Podmínkou pro vznik fotonového echa je, aby zpoždění druhého impulzu vzhledem k prvnímu bylo velmi malé ve srovnání s relaxačními časy T_1 i T_2 .
- ▶ Jev je nejvýraznější, když je plocha prvního impulzu rovna $\pi/2$ (impulz vybudí maximální dipólový moment u všech kvantových soustav – atomů) a současně plocha druhého impulzu je rovna π .

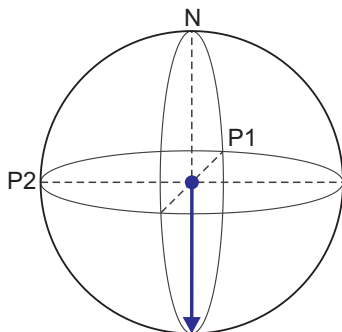


- ▶ V reálných experimentech bývá makroskopická polarizace v době fotonového echa menší díky relaxačním procesům, které při konečných hodnotách T_2 vždy probíhají.

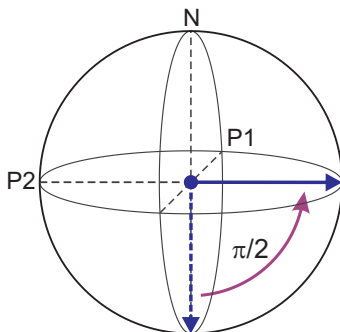
Fotonové echo



Vznik fotonového echa. a) počáteční stav. b) stav po průchodu $\pi/2$ -impulzu. c), d) po $\pi/2$ -impulzu se složky polarizace s různým rozladěním otáčejí úhlovou rychlostí $\Delta\omega$, dochází ke stále většímu rozfázování. e) π -impulz způsobí otočení všech složek polarizace kolem osy \mathcal{P}_1 o π . f) Výsledný účinek π -impulzu. f), g), h) po π -impulzu složky dále rotují stejnou úhlovou rychlostí a stejným směrem. Složky s větším $\Delta\omega$ rotující rychleji jsou po průchodu impulzu více zpožděné a dobehají složky pomalejší s menším $\Delta\omega$.

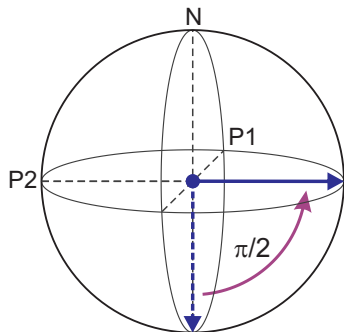


a)

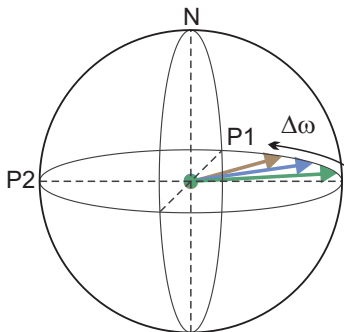


b)

Vznik fotonového echa. a) počáteční stav. b) stav po průchodu $\pi/2$ -impulzu. c), d) po $\pi/2$ -impulzu se složky polarizace s různým rozladěním otáčejí úhlovou rychlostí $\Delta\omega$, dochází ke stále většímu rozfázování. e) π -impulz způsobí otočení všech složek polarizace kolem osy \mathcal{P}_1 o π . f) Výsledný účinek π -impulzu. f), g), h) po π -impulzu složky dále rotují stejnou úhlovou rychlostí a stejným směrem. Složky s větším $\Delta\omega$ rotující rychleji jsou po průchodu impulzu více zpožděné a dohánějí složky pomalejší s menším $\Delta\omega$.

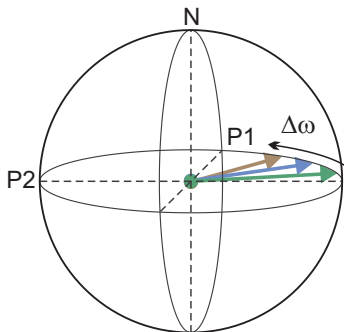


b)

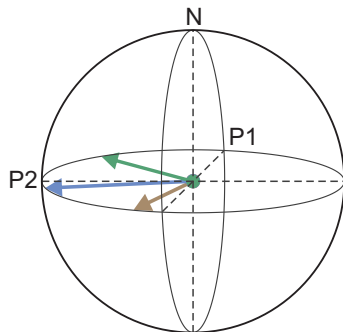


c)

Vznik fotonového echa. a) počáteční stav. b) stav po průchodu $\pi/2$ -impulzu. c), d) po $\pi/2$ -impulzu se složky polarizace s různým rozladěním otáčejí úhlovou rychlostí $\Delta\omega$, dochází ke stále většímu rozfázování. e) π -impulz způsobí otočení všech složek polarizace kolem osy \mathcal{P}_1 o π . f) Výsledný účinek π -impulzu. f), g), h) po π -impulzu složky dále rotují stejnou úhlovou rychlostí a stejným směrem. Složky s větším $\Delta\omega$ rotující rychleji jsou po průchodu impulzu více zpožděné a dobíhají složky pomalejší s menším $\Delta\omega$.

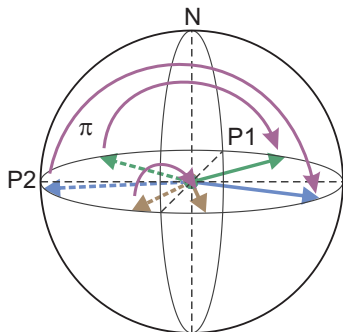


c)

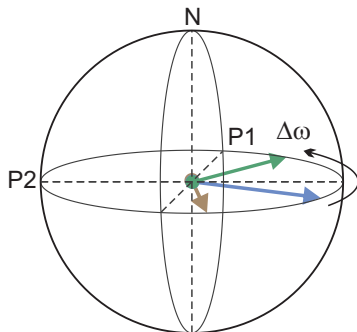


d)

Vznik fotonového echa. a) počáteční stav. b) stav po průchodu $\pi/2$ -impulzu. c), d) po $\pi/2$ -impulzu se složky polarizace s různým rozladěním otáčejí úhlovou rychlostí $\Delta\omega$, dochází ke stále většímu rozfázování. e) π -impulz způsobí otočení všech složek polarizace kolem osy \mathcal{P}_1 o π . f) Výsledný účinek π -impulzu. f), g), h) po π -impulzu složky dále rotují stejnou úhlovou rychlostí a stejným směrem. Složky s větším $\Delta\omega$ rotující rychleji jsou po průchodu impulzu více zpožděné a dobíhají složky pomalejší s menším $\Delta\omega$.

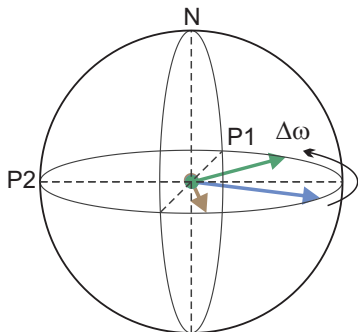


e)

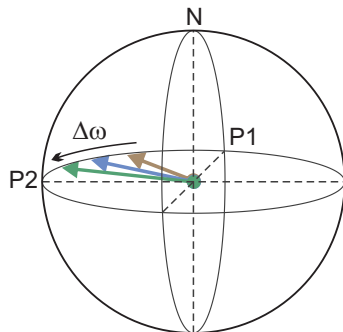


f)

Vznik fotonového echa. a) počáteční stav. b) stav po průchodu $\pi/2$ -impulzu. c), d) po $\pi/2$ -impulzu se složky polarizace s různým rozladěním otáčejí úhlovou rychlostí $\Delta\omega$, dochází ke stále většímu rozfázování. e) π -impulz způsobí otočení všech složek polarizace kolem osy \mathcal{P}_1 o π . f) Výsledný účinek π -impulzu. f), g), h) po π -impulzu složky dále rotují stejnou úhlovou rychlostí a stejným směrem. Složky s větším $\Delta\omega$ rotující rychleji jsou po průchodu impulzu více zpožděné a dohánějí složky pomalejší s menším $\Delta\omega$.

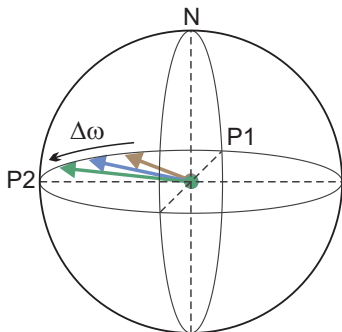


f)

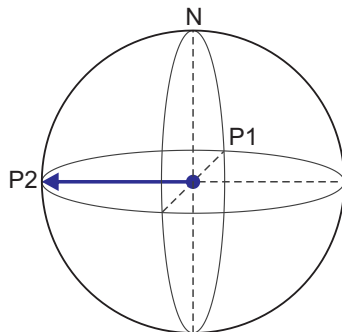


g)

Vznik fotonového echa. a) počáteční stav. b) stav po průchodu $\pi/2$ -impulzu. c), d) po $\pi/2$ -impulzu se složky polarizace s různým rozladěním otáčejí úhlovou rychlostí $\Delta\omega$, dochází ke stále většímu rozfázování. e) π -impulz způsobí otočení všech složek polarizace kolem osy \mathcal{P}_1 o π . f) Výsledný účinek π -impulzu. f), g), h) po π -impulzu složky dále rotují stejnou úhlovou rychlostí a stejným směrem. Složky s větším $\Delta\omega$ rotující rychleji jsou po průchodu impulzu více zpožděné a dohánějí složky pomalejší s menším $\Delta\omega$.



g)



h)

Vznik fotonového echa. a) počáteční stav. b) stav po průchodu $\pi/2$ -impulzu. c), d) po $\pi/2$ -impulzu se složky polarizace s různým rozladěním otáčejí úhlovou rychlostí $\Delta\omega$, dochází ke stále většímu rozfázování. e) π -impulz způsobí otočení všech složek polarizace kolem osy \mathcal{P}_1 o π . f) Výsledný účinek π -impulzu. f), g), h) po π -impulzu složky dále rotují stejnou úhlovou rychlostí a stejným směrem. Složky s větším $\Delta\omega$ rotující rychleji jsou po průchodu impulzu více zpožděné a dohánějí složky pomalejší s menším $\Delta\omega$.

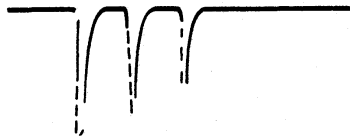


Fig. 16.4 Results of an echo experiment displayed on an oscilloscope. The first two pulses, which are separated by 137 ns, are the excitation pulses, and the third pulse is the echo. The first two photoelectric pulses have been attenuated to make all three of them comparable in size. (Reproduced from Abella, Kurnit and Hartmann, 1966.)

- ▶ Optická nutace je modulace intenzity optického záření, k níž dochází při průchodu impulzu rezonančního optického záření, jestliže má impulz strmou náběžnou hranu

- ▶ Optická nutace je modulace intenzity optického záření, k níž dochází při průchodu impulzu rezonančního optického záření, jestliže má impulz strmou náběžnou hranu
- ▶ Modulační frekvence roste s rostoucí amplitudou intenzity elektrického pole elektromagnetické vlny

- ▶ Optická nutace je modulace intenzity optického záření, k níž dochází při průchodu impulzu rezonančního optického záření, jestliže má impulz strmou náběžnou hranu
- ▶ Modulační frekvence roste s rostoucí amplitudou intenzity elektrického pole elektromagnetické vlny
- ▶ Předpokládáme, že do prostoru zaplněného souborem stejných kvantových soustav vstupuje velmi strmý optický impulz. Aproximujeme jej skokovou funkcí:

$$\begin{aligned}\mathcal{E}(z, t) &= \mathcal{E}_0 \text{ pro } t \geq 0 \\ &= 0 \text{ pro } t < 0\end{aligned}$$

- ▶ Optická nutace je modulace intenzity optického záření, k níž dochází při průchodu impulzu rezonančního optického záření, jestliže má impulz strmou náběžnou hranu
- ▶ Modulační frekvence roste s rostoucí amplitudou intenzity elektrického pole elektromagnetické vlny
- ▶ Předpokládáme, že do prostoru zaplněného souborem stejných kvantových soustav vstupuje velmi strmý optický impulz. Aproximujeme jej skokovou funkcí:

$$\begin{aligned}\mathcal{E}(z, t) &= \mathcal{E}_0 \text{ pro } t \geq 0 \\ &= 0 \text{ pro } t < 0\end{aligned}$$

- ▶ Signál bez fázové modulace. Odezva prostředí v čase $t \geq 0$:

$$\begin{aligned}\frac{\partial \mathcal{P}_2}{\partial t} &= -\frac{|\vec{d}_{21}|^2}{\hbar} \mathcal{E}_0 N \\ \frac{\partial N}{\partial t} &= \frac{1}{\hbar} \mathcal{E}_0 \mathcal{P}_2\end{aligned}$$

- ▶ Optická nutace je modulace intenzity optického záření, k níž dochází při průchodu impulzu rezonančního optického záření, jestliže má impulz strmou náběžnou hranu
- ▶ Modulační frekvence roste s rostoucí amplitudou intenzity elektrického pole elektromagnetické vlny
- ▶ Předpokládáme, že do prostoru zaplněného souborem stejných kvantových soustav vstupuje velmi strmý optický impulz. Aproximujeme jej skokovou funkcí:

$$\begin{aligned}\mathcal{E}(z, t) &= \mathcal{E}_0 \text{ pro } t \geq 0 \\ &= 0 \text{ pro } t < 0\end{aligned}$$

- ▶ Signál bez fázové modulace. Odezva prostředí v čase $t \geq 0$:

$$\begin{aligned}\frac{\partial \mathcal{P}_2}{\partial t} &= -\frac{|\vec{d}_{21}|^2}{\hbar} \mathcal{E}_0 N \\ \frac{\partial N}{\partial t} &= \frac{1}{\hbar} \mathcal{E}_0 \mathcal{P}_2\end{aligned}$$

- ▶ Derivujeme první rovnici, dosadíme druhou, dostáváme:

$$\frac{\partial^2 \mathcal{P}_2}{\partial t^2} = -\frac{|\vec{d}_{21}|^2}{\hbar^2} \mathcal{E}_0^2 \mathcal{P}_2.$$

- ▶ Máme:

$$\frac{\partial^2 \mathcal{P}_2}{\partial t^2} = -\frac{|\vec{d}_{21}|^2}{\hbar^2} \varepsilon_0^2 \mathcal{P}_2.$$

- ▶ Máme:

$$\frac{\partial^2 \mathcal{P}_2}{\partial t^2} = -\frac{|\vec{d}_{21}|^2}{\hbar^2} \mathcal{E}_0^2 \mathcal{P}_2.$$

- ▶ Uvážíme-li, že v čase $t = 0$ je $N = N_0$ a $\mathcal{P}_2 = 0$, má řešení tvar:

$$\begin{aligned}\mathcal{P}_2 &= N_0 |\vec{d}_{21}| \sin(\Omega_0 t) \\ N &= N_0 \cos(\Omega_0 t)\end{aligned}$$

kde $\Omega_0 = \frac{|\vec{d}_{21}|}{\hbar} \mathcal{E}_0$ je Rabiho frekvence

- ▶ Máme:

$$\frac{\partial^2 \mathcal{P}_2}{\partial t^2} = -\frac{|\vec{d}_{21}|^2}{\hbar^2} \mathcal{E}_0^2 \mathcal{P}_2.$$

- ▶ Uvážíme-li, že v čase $t = 0$ je $N = N_0$ a $\mathcal{P}_2 = 0$, má řešení tvar:

$$\begin{aligned}\mathcal{P}_2 &= N_0 |\vec{d}_{21}| \sin(\Omega_0 t) \\ N &= N_0 \cos(\Omega_0 t)\end{aligned}$$

kde $\Omega_0 = \frac{|\vec{d}_{21}|}{\hbar} \mathcal{E}_0$ je Rabiho frekvence

- ▶ Polarizace prostředí, resp. složka \mathcal{P}_2 má frekvenční modulaci danou Rabiho frekvencí

- ▶ Máme:

$$\frac{\partial^2 \mathcal{P}_2}{\partial t^2} = -\frac{|\vec{d}_{21}|^2}{\hbar^2} \mathcal{E}_0^2 \mathcal{P}_2.$$

- ▶ Uvážíme-li, že v čase $t = 0$ je $N = N_0$ a $\mathcal{P}_2 = 0$, má řešení tvar:

$$\begin{aligned} \mathcal{P}_2 &= N_0 |\vec{d}_{21}| \sin(\Omega_0 t) \\ N &= N_0 \cos(\Omega_0 t) \end{aligned}$$

kde $\Omega_0 = \frac{|\vec{d}_{21}|}{\hbar} \mathcal{E}_0$ je Rabiova frekvence

- ▶ Polarizace prostředí, resp. složka \mathcal{P}_2 má frekvenční modulaci danou Rabiovou frekvencí
- ▶ Výstupní signál bude v tomto rytmu promodulován.

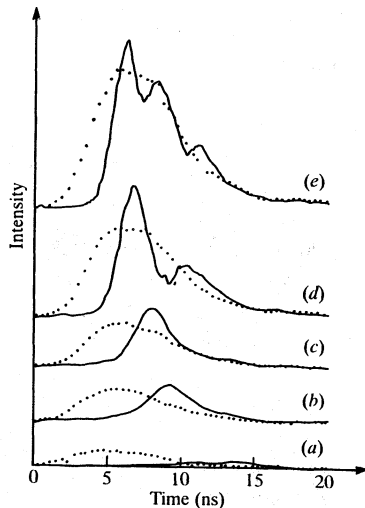


Fig. 16.8 Results of pulse propagation measurements in rubidium vapor, showing pulse breakup. Input pulses are shown by dotted lines and output pulses by solid lines. The input pulse areas increase progressively from (a) to (e). (Reproduced from Slusher and Gibbs, 1972.)

- ▶ Vyzařování z vrstvy o tloušťce L menší, než je vlnová délka záření λ

- ▶ Vyzařování z vrstvy o tloušťce L menší, než je vlnová délka záření λ
- ▶ Vstupní signál $\mathcal{E}(z=0) = 0$ a makroskopická polarizace \mathcal{P}_2 je nenulová:

$$\mathcal{E} = -\frac{\mu_0 \omega_{21} c}{2} \mathcal{P}_2 L$$

- ▶ Vyzařování z vrstvy o tloušťce L menší, než je vlnová délka záření λ
- ▶ Vstupní signál $\mathcal{E}(z=0) = 0$ a makroskopická polarizace \mathcal{P}_2 je nenulová:

$$\mathcal{E} = -\frac{\mu_0 \omega_{21} c}{2} \mathcal{P}_2 L$$

- ▶ Vyzařovaná intenzita záření – plošná hustota výkonu:

$$I = \frac{1}{2} c \epsilon_0 \mathcal{E}^2$$

- ▶ Vyzařování z vrstvy o tloušťce L menší, než je vlnová délka záření λ
- ▶ Vstupní signál $\mathcal{E}(z=0) = 0$ a makroskopická polarizace \mathcal{P}_2 je nenulová:

$$\mathcal{E} = -\frac{\mu_0 \omega_{21} c}{2} \mathcal{P}_2 L$$

- ▶ Vyzařovaná intenzita záření – plošná hustota výkonu:

$$I = \frac{1}{2} c \epsilon_0 \mathcal{E}^2$$

- ▶ Polarizace \mathcal{P}_2 úměrná hustotě počtu kvantových soustav \bar{N} .

- ▶ Vyzařování z vrstvy o tloušťce L menší, než je vlnová délka záření λ
- ▶ Vstupní signál $\mathcal{E}(z=0) = 0$ a makroskopická polarizace \mathcal{P}_2 je nenulová:

$$\mathcal{E} = -\frac{\mu_0 \omega_{21} c}{2} \mathcal{P}_2 L$$

- ▶ Vyzařovaná intenzita záření – plošná hustota výkonu:

$$I = \frac{1}{2} c \epsilon_0 \mathcal{E}^2$$

- ▶ Polarizace \mathcal{P}_2 úměrná hustotě počtu kvantových soustav \bar{N} .
- ▶ Výsledná intenzita vyzařování z daného objemu úměrná \bar{N}^2

- ▶ Vyzařování z vrstvy o tloušťce L menší, než je vlnová délka záření λ
- ▶ Vstupní signál $\mathcal{E}(z=0) = 0$ a makroskopická polarizace \mathcal{P}_2 je nenulová:

$$\mathcal{E} = -\frac{\mu_0 \omega_{21} c}{2} \mathcal{P}_2 L$$

- ▶ Vyzařovaná intenzita záření – plošná hustota výkonu:

$$I = \frac{1}{2} c \epsilon_0 \mathcal{E}^2$$

- ▶ Polarizace \mathcal{P}_2 úměrná hustotě počtu kvantových soustav \bar{N} .
- ▶ Výsledná intenzita vyzařování z daného objemu úměrná \bar{N}^2
- ▶ Záření vysílané za těchto podmínek se nazývá **superradiance** – intenzita je úměrná kvadrátu počtu částic (u normální luminiscence je úměrná N)

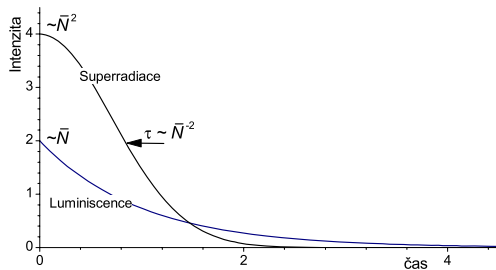
- ▶ Vyzařování z vrstvy o tloušťce L menší, než je vlnová délka záření λ
- ▶ Vstupní signál $\mathcal{E}(z=0) = 0$ a makroskopická polarizace \mathcal{P}_2 je nenulová:

$$\mathcal{E} = -\frac{\mu_0 \omega_{21} c}{2} \mathcal{P}_2 L$$

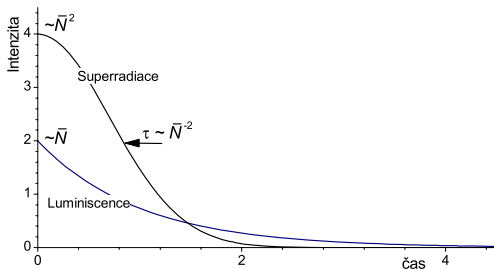
- ▶ Vyzařovaná intenzita záření – plošná hustota výkonu:

$$I = \frac{1}{2} c \epsilon_0 \mathcal{E}^2$$

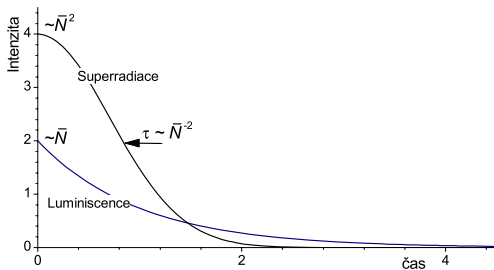
- ▶ Polarizace \mathcal{P}_2 úměrná hustotě počtu kvantových soustav \bar{N} .
- ▶ Výsledná intenzita vyzařování z daného objemu úměrná \bar{N}^2
- ▶ Záření vysílané za těchto podmínek se nazývá **superradiance** – intenzita je úměrná kvadrátu počtu částic (u normální luminiscence je úměrná N)
- ▶ Nutná souhlasná orientací dipólových momentů uvnitř malého objemu látky



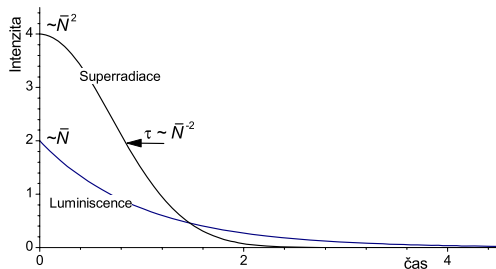
- Nenulová makroskopická polarizace musí být udržována z vnější buzení



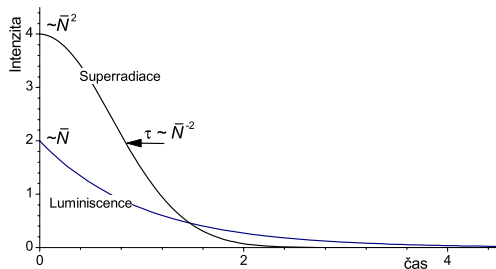
- ▶ Nenulová makroskopická polarizace musí být udržována z vnějšku buzením
- ▶ Počáteční intenzita záření je úměrná druhé mocnině počtu částic ve studovaném malém objemu



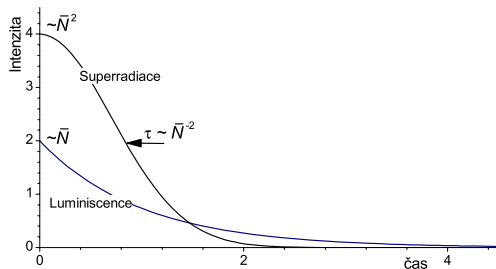
- ▶ Nenulová makroskopická polarizace musí být udržována z vnější buzení
- ▶ Počáteční intenzita záření je úměrná druhé mocnině počtu částic ve studovaném malém objemu
- ▶ Doba trvání impulsu τ je pak nepřímo úměrná počtu částic v daném objemu



- ▶ Nenulová makroskopická polarizace musí být udržována z vnějšku buzením
- ▶ Počáteční intenzita záření je úměrná druhé mocnině počtu částic ve studovaném malém objemu
- ▶ Doba trvání impulzu τ je pak nepřímo úměrná počtu částic v daném objemu
- ▶ Podle autora vysvětlení tohoto jevu bývá toto vyzařování označováno jako **Dickeova superradiace**



- ▶ Nenulová makroskopická polarizace musí být udržována z vnějšku buzením
- ▶ Počáteční intenzita záření je úměrná druhé mocnině počtu částic ve studovaném malém objemu
- ▶ Doba trvání impulzu τ je pak nepřímo úměrná počtu částic v daném objemu
- ▶ Podle autora vysvětlení tohoto jevu bývá toto vyzařování označováno jako **Dickeova superradiance**
- ▶ Je pozorovatelná v oblastech elektromagnetického záření nižších frekvencí



- ▶ Nenulová makroskopická polarizace musí být udržována z vnějšku buzením
- ▶ Počáteční intenzita záření je úměrná druhé mocnině počtu částic ve studovaném malém objemu
- ▶ Doba trvání impulzu τ je pak nepřímo úměrná počtu částic v daném objemu
- ▶ Podle autora vysvětlení tohoto jevu bývá toto vyzařování označováno jako **Dickeova superradiance**
- ▶ Je pozorovatelná v oblastech elektromagnetického záření nižších frekvencí
- ▶ V optickém pásmu frekvencí není znám způsob ustavení makroskopické polarizace vnějším buzením

- ▶ Superluminiscence je jev velmi blízký superradiaci

Superluminiscence (superfluorescence)

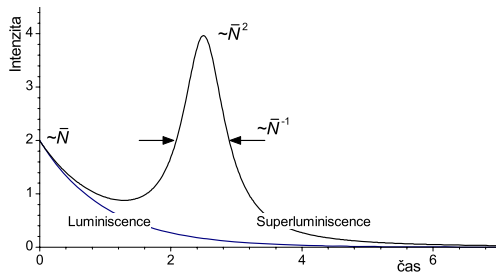
- ▶ Superluminiscence je jev velmi blízký superradiaci
- ▶ Nastává v rezonančním aktivním prostředí, když je velký počet vybuzených kvantových soustav soustředěn v objemu, jehož *charakteristický rozměr je menší než vlnová délka* rezonančního záření

- ▶ Superluminiscence je jev velmi blízký superradiaci
- ▶ Nastává v rezonančním aktivním prostředí, když je velký počet vybuzených kvantových soustav soustředěn v objemu, jehož *charakteristický rozměr je menší než vlnová délka* rezonančního záření
- ▶ Doba, za kterou záření projde vzorkem, musí být podstatně kratší než je doba příčné relaxace T_2

Superluminiscence (superfluorescence)

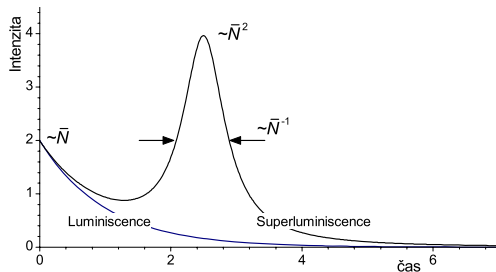
- ▶ Superluminiscence je jev velmi blízký superradiaci
- ▶ Nastává v rezonančním aktivním prostředí, když je velký počet vybuzených kvantových soustav soustředěn v objemu, jehož *charakteristický rozměr je menší než vlnová délka* rezonančního záření
- ▶ Doba, za kterou záření projde vzorkem, musí být podstatně kratší než je doba příčné relaxace T_2
- ▶ Elektrické pole spontánního záření působí na sousední soustavy a vyvolává makroskopickou polarizaci, která pak vede k procesu vyzařování obdobnému jako u superradiace

Superluminescence (superfluorescence)



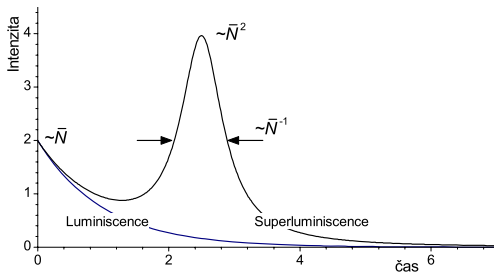
- ▶ Intenzita záření je v počátečním čase rovna intenzitě spontánního záření z daného objemu, tedy úměrná počtu kvantových soustav v daném objemu (\bar{N})

Superluminescence (superfluorescence)



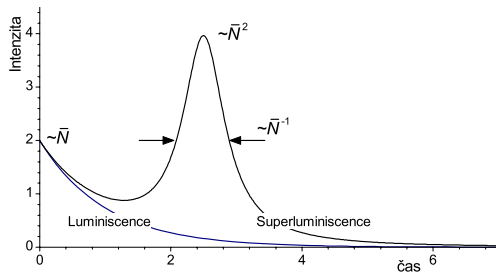
- ▶ Intenzita záření je v počátečním čase rovna intenzitě spontánního záření z daného objemu, tedy úměrná počtu kvantových soustav v daném objemu (\bar{N})
- ▶ Výška vyzařovaného impulsu je v tomto případě úměrná druhé mocnině počtu kvantových soustav (\bar{N}^2) a šířka impulsu je úměrná převrácené hodnotě hustoty počtu kvantových soustav (\bar{N}^{-1}) jako u superradiace

Superluminescence (superfluorescence)

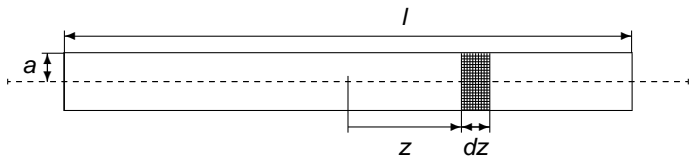


- ▶ Intenzita záření je v počátečním čase rovna intenzitě spontánního záření z daného objemu, tedy úměrná počtu kvantových soustav v daném objemu (\bar{N})
- ▶ Výška vyzařovaného impulsu je v tomto případě úměrná druhé mocnině počtu kvantových soustav (\bar{N}^2) a šířka impulsu je úměrná převrácené hodnotě hustoty počtu kvantových soustav (\bar{N}^{-1}) jako u superradiace
- ▶ Superluminescence byla demonstrována v parách cesia při nízkém tlaku (minimální srážkové rozšíření, dlouhá doba T_2 i T_1) na kvantovém přechodu s rezonanční vlnovou délkou $2.9 \mu\text{m}$ při optickém buzení barvivovým laserem s vlnovou délkou 455 nm

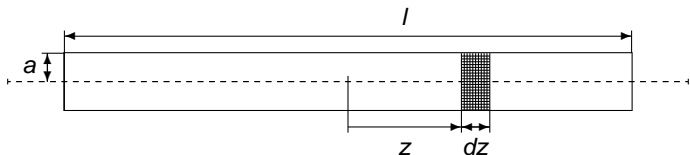
Superluminescence (superfluorescence)



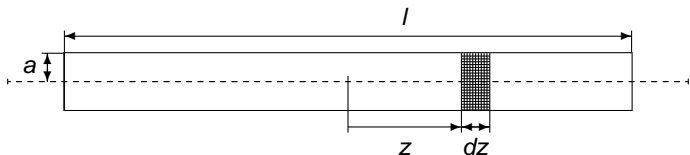
- ▶ Intenzita záření je v počátečním čase rovna intenzitě spontánního záření z daného objemu, tedy úměrná počtu kvantových soustav v daném objemu (\bar{N})
- ▶ Výška vyzařovaného impulsu je v tomto případě úměrná druhé mocnině počtu kvantových soustav (\bar{N}^2) a šířka impulsu je úměrná převrácené hodnotě hustoty počtu kvantových soustav (\bar{N}^{-1}) jako u superradiace
- ▶ Superluminescence byla demonstrována v parách cesia při nízkém tlaku (minimální srážkové rozšíření, dlouhá doba T_2 i T_1) na kvantovém přechodu s rezonanční vlnovou délkou $2.9 \mu\text{m}$ při optickém buzení barvivovým laserem s vlnovou délkou 455 nm
- ▶ V obvyklých laserových aktivních prostředích však podmínky pro superluminescenci splněny nejsou



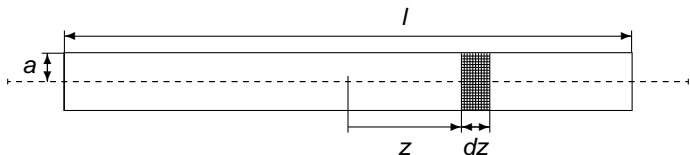
- ▶ Aktivní prostředí laseru má tvar válcové tyče o poloměru a a délce l a platí $l \gg a$. Pro reálný systém obvykle $a/l \approx 10^{-2}$



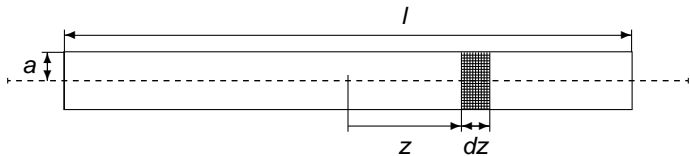
- ▶ Aktivní prostředí laseru má tvar válcové tyče o poloměru a a délce l a platí $l \gg a$. Pro reálný systém obvykle $a/l \approx 10^{-2}$
- ▶ Osa z je umístěna v ose tyče, $z = 0$ ve středu tyče



- ▶ Aktivní prostředí laseru má tvar válcové tyče o poloměru a a délce l a platí $l \gg a$. Pro reálný systém obvykle $a/l \approx 10^{-2}$
- ▶ Osa z je umístěna v ose tyče, $z = 0$ ve středu tyče
- ▶ Tyč je rovnoměrně vyplněna kvantovými systavy s laserovým přechodem mezi energetickými hladinami E_2 a E_1 s rezonanční kruhovou frekvencí ω_{21}



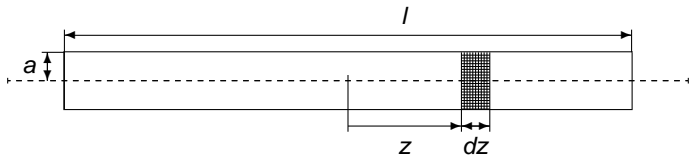
- ▶ Aktivní prostředí laseru má tvar válcové tyče o poloměru a a délce l a platí $l \gg a$. Pro reálný systém obvykle $a/l \approx 10^{-2}$
- ▶ Osa z je umístěna v ose tyče, $z = 0$ ve středu tyče
- ▶ Tyč je rovnoměrně vyplněna kvantovými systavy s laserovým přechodem mezi energetickými hladinami E_2 a E_1 s rezonanční kruhovou frekvencí ω_{21}
- ▶ Je zajištěna rychlá depopulace dolní laserové hladiny, takže její populace $N_1 \doteq 0$ Populace horní energetické hladiny N_2 je pak rovna inverzi populace hladin N



- ▶ Je-li T_1 doba života na horní hladině a jediný mechanismus depopulace této hladiny je spontánní emise, potom spontánní emise z elementu objemu $\Delta V = \pi a^2 \Delta z$ odnáší výkon (energie za jednotku času):

$$\Delta Q = \frac{N\hbar\omega_{21}}{T_1} \Delta V$$

Zesilování spontánní emise v dlouhém sloupci

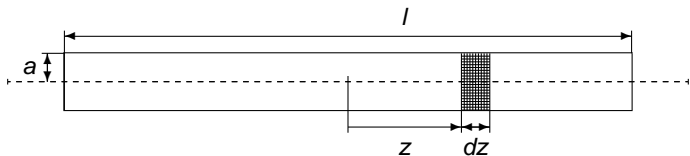


- ▶ Je-li T_1 doba života na horní hladině a jediný mechanismus depopulace této hladiny je spontánní emise, potom spontánní emise z elementu objemu $\Delta V = \pi a^2 \Delta z$ odnáší výkon (energie za jednotku času):

$$\Delta Q = \frac{N\hbar\omega_{21}}{T_1} \Delta V$$

- ▶ Výkon je vyzařovaný z každého elementárního objemu do plného úhlu 4π

Zesilování spontánní emise v dlouhém sloupci

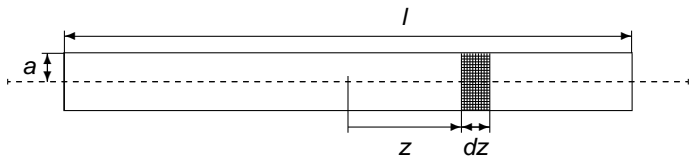


- ▶ Je-li T_1 doba života na horní hladině a jediný mechanismus depopulace této hladiny je spontánní emise, potom spontánní emise z elementu objemu $\Delta V = \pi a^2 \Delta z$ odnáší výkon (energii za jednotku času):

$$\Delta Q = \frac{N\hbar\omega_{21}}{T_1} \Delta V$$

- ▶ Výkon je vyzařovaný z každého elementárního objemu do plného úhlu 4π
- ▶ Výkon je vyzařovaný ve směru osy z do prostorového úhlu $\pi a^2/l^2$ bude zesilován

Zesilování spontánní emise v dlouhém sloupci



- ▶ Je-li T_1 doba života na horní hladině a jediný mechanismus depopulace této hladiny je spontánní emise, potom spontánní emise z elementu objemu $\Delta V = \pi a^2 \Delta z$ odnáší výkon (energie za jednotku času):

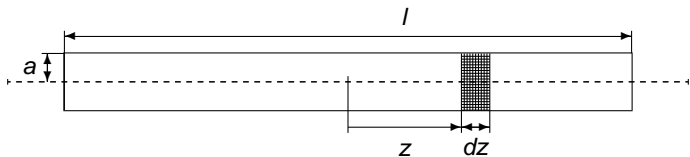
$$\Delta Q = \frac{N \hbar \omega_{21}}{T_1} \Delta V$$

- ▶ Výkon je vyzařovaný z každého elementárního objemu do plného úhlu 4π
- ▶ Výkon je vyzařovaný ve směru osy z do prostorového úhlu $\pi a^2 / l^2$ bude zesilován
- ▶ Příspěvek k celkové plošné hustotě výkonu na výstupu:

$$\Delta I = \underbrace{\frac{1}{\pi a^2} \frac{\pi a^2}{l^2} \frac{1}{4\pi} \Delta Q}_{\text{Intenzita záření vyzářená z elementu } dz \text{ ve směru } z} \times \underbrace{e^{g(\frac{l}{2}-z)}}_{\text{zesílení}}$$

Intenzita záření vyzářená
z elementu dz ve směru z

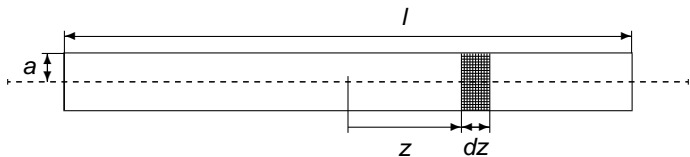
Zesilování spontánní emise v dlouhém sloupci



- ▶ Výsledná intenzita zesílené spontánní emise na výstupní apertuře bude dána integrací podél celého aktivního prostředí:

$$\int_{-\frac{l}{2}}^{\frac{l}{2}} \Delta I = \frac{N\hbar\omega_{21}}{T_1} \frac{a^2}{4l^2} \frac{1 - e^{-gl}}{g} e^{gl} \approx I_s \frac{a^2}{4l^2} e^{gl},$$

kde $g = \sigma N$ a $I_s = \hbar\omega_{21}/\sigma T_1$ (zanedbali jsme e^{-gl} vzhledem k 1).



- ▶ Výsledná intenzita zesílené spontánní emise na výstupní apertuře bude dána integrací podél celého aktivního prostředí:

$$\int_{-\frac{l}{2}}^{\frac{l}{2}} \Delta I = \frac{N\hbar\omega_{21}}{T_1} \frac{a^2}{4l^2} \frac{1 - e^{-gl}}{g} e^{gl} \approx I_s \frac{a^2}{4l^2} e^{gl},$$

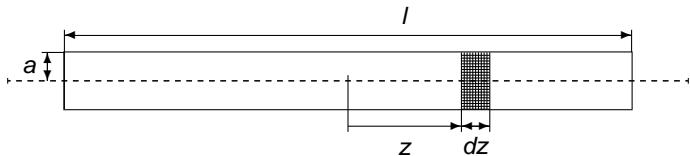
kde $g = \sigma N$ a $I_s = \hbar\omega_{21}/\sigma T_1$ (zanedbali jsme e^{-gl} vzhledem k 1).

- ▶ V případě, že je splněna nerovnost (tzv. „měkký práh“):

$$\frac{a^2}{4l^2} e^{gl} \gg 1,$$

dochází na výstupu k významnému převážení stimulované emise nad spontánní

Zesilování spontánní emise v dlouhém sloupci



- ▶ Výsledná intenzita zesílené spontánní emise na výstupní apertuře bude dána integrací podél celého aktivního prostředí:

$$\int_{-\frac{l}{2}}^{\frac{l}{2}} \Delta I = \frac{N\hbar\omega_{21}}{T_1} \frac{a^2}{4l^2} \frac{1 - e^{-gl}}{g} e^{gl} \approx I_s \frac{a^2}{4l^2} e^{gl},$$

kde $g = \sigma N$ a $I_s = \hbar\omega_{21}/\sigma T_1$ (zanedbali jsme e^{-gl} vzhledem k 1).

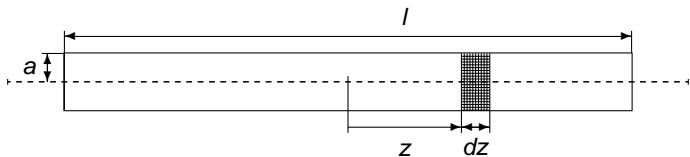
- ▶ V případě, že je splněna nerovnost (tzv. „měkký práh“):

$$\frac{a^2}{4l^2} e^{gl} \gg 1,$$

dochází na výstupu k významnému převážení stimulované emise nad spontánní

- ▶ Podstatná část energie uložené ve vnitřních stavech kvantových soustav se vyvazuje prostřednictvím stimulované emise

Zesilování spontánní emise v dlouhém sloupci



- ▶ Výsledná intenzita zesílené spontánní emise na výstupní apertuře bude dána integrací podél celého aktivního prostředí:

$$\int_{-\frac{l}{2}}^{\frac{l}{2}} \Delta I = \frac{N\hbar\omega_{21}}{T_1} \frac{a^2}{4l^2} \frac{1 - e^{-gl}}{g} e^{gl} \approx I_s \frac{a^2}{4l^2} e^{gl},$$

kde $g = \sigma N$ a $I_s = \hbar\omega_{21}/\sigma T_1$ (zanedbali jsme e^{-gl} vzhledem k 1).

- ▶ V případě, že je splněna nerovnost (tzv. „měkký práh“):

$$\frac{a^2}{4l^2} e^{gl} \gg 1,$$

dochází na výstupu k významnému převážení stimulované emise nad spontánní

- ▶ Podstatná část energie uložené ve vnitřních stavech kvantových soustav se vyvazuje prostřednictvím stimulované emise
- ▶ Platí pokud je součinitel zisku je všude stejný, $g(z) = \text{konst.}$, přesnější výsledek poskytnou prostorově závislé rychlostní rovnice.

- ▶ Prostorově závislé rychlostní rovnice:

$$\frac{\partial N}{\partial t} = -\frac{N\sigma}{\hbar\omega_{21}} (I^+ + I^-) - \frac{N}{T_1} + w,$$

$$\frac{\partial I^+}{\partial z} = N\sigma I^+ + \frac{\hbar\omega_{21}N}{T_1} \frac{a^2}{4I^2},$$

$$\frac{\partial I^-}{\partial z} = -N\sigma I^- - \frac{\hbar\omega_{21}N}{T_1} \frac{a^2}{4I^2},$$

- ▶ Prostorově závislé rychlostní rovnice:

$$\frac{\partial N}{\partial t} = -\frac{N\sigma}{\hbar\omega_{21}} (I^+ + I^-) - \frac{N}{T_1} + w,$$

$$\frac{\partial I^+}{\partial z} = N\sigma I^+ + \frac{\hbar\omega_{21}N}{T_1} \frac{a^2}{4I^2},$$

$$\frac{\partial I^-}{\partial z} = -N\sigma I^- - \frac{\hbar\omega_{21}N}{T_1} \frac{a^2}{4I^2},$$

- ▶ $I^+ = I^+(z, t)$, resp. $I^- = I^-(z, t)$ jsou intenzity záření postupujícího ve směru, resp. proti směru osy z

- ▶ Prostorově závislé rychlostní rovnice:

$$\frac{\partial N}{\partial t} = -\frac{N\sigma}{\hbar\omega_{21}} (I^+ + I^-) - \frac{N}{T_1} + w,$$

$$\frac{\partial I^+}{\partial z} = N\sigma I^+ + \frac{\hbar\omega_{21}N}{T_1} \frac{a^2}{4I^2},$$

$$\frac{\partial I^-}{\partial z} = -N\sigma I^- - \frac{\hbar\omega_{21}N}{T_1} \frac{a^2}{4I^2},$$

- ▶ $I^+ = I^+(z, t)$, resp. $I^- = I^-(z, t)$ jsou intenzity záření postupujícího ve směru, resp. proti směru osy z
- ▶ $w = w(t)$ je buzení, o němž předpokládáme, že je prostorově homogenní

- ▶ Prostorově závislé rychlostní rovnice:

$$\frac{\partial N}{\partial t} = -\frac{N\sigma}{\hbar\omega_{21}} (I^+ + I^-) - \frac{N}{T_1} + w,$$

$$\frac{\partial I^+}{\partial z} = N\sigma I^+ + \frac{\hbar\omega_{21}N}{T_1} \frac{a^2}{4I^2},$$

$$\frac{\partial I^-}{\partial z} = -N\sigma I^- - \frac{\hbar\omega_{21}N}{T_1} \frac{a^2}{4I^2},$$

- ▶ $I^+ = I^+(z, t)$, resp. $I^- = I^-(z, t)$ jsou intenzity záření postupujícího ve směru, resp. proti směru osy z
- ▶ $w = w(t)$ je buzení, o němž předpokládáme, že je prostorově homogenní
- ▶ Zesílená spontánní emise vystupuje z obou konců tyče symetricky, proto $I^+(z, t) = I^-(-z, t)$, speciálně $I^+(0, t) = I^-(0, t)$

- ▶ Prostorově závislé rychlostní rovnice:

$$\frac{\partial N}{\partial t} = -\frac{N\sigma}{\hbar\omega_{21}} (I^+ + I^-) - \frac{N}{T_1} + w,$$

$$\frac{\partial I^+}{\partial z} = N\sigma I^+ + \frac{\hbar\omega_{21}N}{T_1} \frac{a^2}{4I^2},$$

$$\frac{\partial I^-}{\partial z} = -N\sigma I^- - \frac{\hbar\omega_{21}N}{T_1} \frac{a^2}{4I^2},$$

- ▶ $I^+ = I^+(z, t)$, resp. $I^- = I^-(z, t)$ jsou intenzity záření postupujícího ve směru, resp. proti směru osy z
- ▶ $w = w(t)$ je buzení, o němž předpokládáme, že je prostorově homogenní
- ▶ Zesílená spontánní emise vystupuje z obou konců tyče symetricky, proto $I^+(z, t) = I^-(-z, t)$, speciálně $I^+(0, t) = I^-(0, t)$
- ▶ V případě kontinuálního buzení je možné nalézt prostorově závislé stacionární řešení

- ▶ Z rovnice pro inverzi

$$0 \equiv \frac{\partial N}{\partial t} = -\frac{N}{T_1} \frac{(I^+ + I^-)}{I_s} - \frac{N}{T_1} + w$$

dostaneme:

$$N(z) = \frac{N_0}{1 + \frac{I^+(z) + I^-(z)}{I_s}},$$

kde $N_0 = wT_1$ je hodnota inverze v nepřítomnosti zesilovaného záření

- ▶ Z rovnice pro inverzi

$$0 \equiv \frac{\partial N}{\partial t} = -\frac{N}{T_1} \frac{(I^+ + I^-)}{I_s} - \frac{N}{T_1} + w$$

dostaneme:

$$N(z) = \frac{N_0}{1 + \frac{I^+(z) + I^-(z)}{I_s}},$$

kde $N_0 = wT_1$ je hodnota inverze v nepřítomnosti zesilovaného záření

- ▶ Zavedeme bezrozměrné intenzity substitucí $J^+(z) = I^+(z)/I_s$, $J^-(z) = I^-(z)/I_s$ a označíme $D = a^2/(4I^2)$:

$$\begin{aligned} \frac{dJ^+}{dz} &= \frac{g_0(J^+ + D)}{1 + J^+ + J^-} \\ \frac{dJ^-}{dz} &= -\frac{g_0(J^- + D)}{1 + J^+ + J^-} \end{aligned}$$

kde $g_0 = \sigma N_0$ je součinitel zesílení slabého signálu.

- ▶ Z rovnice pro inverzi

$$0 \equiv \frac{\partial N}{\partial t} = -\frac{N}{T_1} \frac{(I^+ + I^-)}{I_s} - \frac{N}{T_1} + w$$

dostaneme:

$$N(z) = \frac{N_0}{1 + \frac{I^+(z) + I^-(z)}{I_s}},$$

kde $N_0 = wT_1$ je hodnota inverze v nepřítomnosti zesilovaného záření

- ▶ Zavedeme bezrozměrné intenzity substitucí $J^+(z) = I^+(z)/I_s$, $J^-(z) = I^-(z)/I_s$ a označíme $D = a^2/(4I^2)$:

$$\begin{aligned} \frac{dJ^+}{dz} &= \frac{g_0(J^+ + D)}{1 + J^+ + J^-} \\ \frac{dJ^-}{dz} &= -\frac{g_0(J^- + D)}{1 + J^+ + J^-} \end{aligned}$$

kde $g_0 = \sigma N_0$ je součinitel zesílení slabého signálu.

- ▶ Platí:

$$\begin{aligned} \frac{dJ^+}{dz} &= -\frac{J^+ + D}{J^- + D} \frac{dJ^-}{dz} \Rightarrow (\text{DC}) \\ (J^+ + D)(J^- + D) &= \text{konst.} \equiv b^2 \quad \text{invariant soustavy} \end{aligned}$$

- ▶ Budeme hledat J^+ , J^- ve tvaru:

$$J^+(z) = b e^{u(z)} - D$$

$$J^-(z) = b e^{-u(z)} - D$$

² $\sinh x = (e^x - e^{-x})/2$

- ▶ Budeme hledat J^+ , J^- ve tvaru:

$$J^+(z) = b e^{u(z)} - D$$

$$J^-(z) = b e^{-u(z)} - D$$

- ▶ Dosadíme do

$$\frac{dJ^+}{dz} = \frac{g_0(J^+ + D)}{1 + J^+ + J^-}$$

$$\frac{dJ^-}{dz} = -\frac{g_0(J^- + D)}{1 + J^+ + J^-}$$

a integrujeme

² $\sinh x = (e^x - e^{-x})/2$

- ▶ Budeme hledat J^+ , J^- ve tvaru:

$$J^+(z) = b e^{u(z)} - D$$

$$J^-(z) = b e^{-u(z)} - D$$

- ▶ Dosadíme do

$$\frac{dJ^+}{dz} = \frac{g_0(J^+ + D)}{1 + J^+ + J^-}$$

$$\frac{dJ^-}{dz} = -\frac{g_0(J^- + D)}{1 + J^+ + J^-}$$

a integrujeme

- ▶ Dostaneme:²

$$(1 - 2D)u(z) + 2b \sinh u(z) = g_0 z$$

² $\sinh x = (e^x - e^{-x})/2$

- ▶ Budeme hledat J^+ , J^- ve tvaru:

$$\begin{aligned}J^+(z) &= b e^{u(z)} - D \\J^-(z) &= b e^{-u(z)} - D\end{aligned}$$

- ▶ Dosadíme do

$$\begin{aligned}\frac{dJ^+}{dz} &= \frac{g_0(J^+ + D)}{1 + J^+ + J^-} \\ \frac{dJ^-}{dz} &= -\frac{g_0(J^- + D)}{1 + J^+ + J^-}\end{aligned}$$

a integrujeme

- ▶ Dostaneme:²

$$(1 - 2D)u(z) + 2b \sinh u(z) = g_0 z$$

- ▶ Využitím okrajových podmínek $J^+(-l/2) = J^-(l/2) = 0$, dostaneme transcendentní rovnici pro b (DC 4.7):

$$(1 - 2D) \ln \left(\frac{b}{D} \right)^2 + 2D \left[\left(\frac{b}{D} \right)^2 - 1 \right] = g_0 l$$

² $\sinh x = (e^x - e^{-x})/2$

- ▶ Vyjádříme b^2 pomocí invariantu soustavy a okrajových podmínek

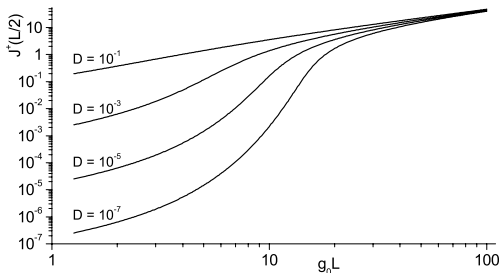
- ▶ Vyjádříme b^2 pomocí invariantu soustavy a okrajových podmínek
- ▶ Dostaneme transcendentní rovnici, udávající výstupní intenzitu např. ve směru osy z , v závislosti na rychlosti buzení a délce aktivního prostředí (DC 4.8):

$$(1 - 2D) \ln \left[\frac{J^+ \left(\frac{l}{2} \right)}{D} + 1 \right] + 2J^+ \left(\frac{l}{2} \right) = g_0 l = \sigma w T_1 l.$$

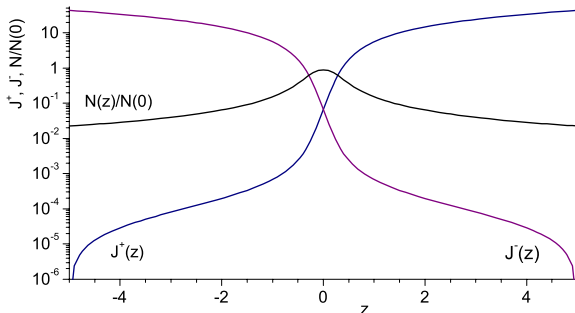
- ▶ Vyjádříme b^2 pomocí invariantu soustavy a okrajových podmínek
- ▶ Dostaneme transcendentní rovnici, udávající výstupní intenzitu např. ve směru osy z , v závislosti na rychlosti buzení a délce aktivního prostředí (DC 4.8):

$$(1 - 2D) \ln \left[\frac{J^+ \left(\frac{l}{2} \right)}{D} + 1 \right] + 2J^+ \left(\frac{l}{2} \right) = g_0 l = \sigma w T_1 l.$$

- ▶ Rychlost buzení, při které se při dané délce významně zvyšuje strmost této závislosti, bývá nazývána „**měkký práh**“ – stimulovaná emise vyvazuje z aktivního prostředí podstatnou část energie, vkládané do vnitřních stavů kvantových soustav

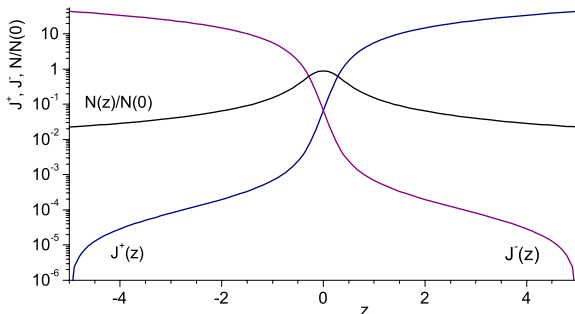


Závislost normované výstupní intenzity záření J^+ na součinu $g_0 l = \sigma T_1 w l$



Závislost normované intenzity záření J^+ , J^- a normované inverze $N/N(0)$ na prostorové souřadnici z . Parametr $D = 10^{-4}$, délka $l = 10$ cm, $g_0 = 10$ cm $^{-1}$

- Divergence výstupního svazku je dána geometrií aktivního prostředí



Závislost normované intenzity záření J^+ , J^- a normované inverze $N/N(0)$ na prostorové souřadnici z . Parametr $D = 10^{-4}$, délka $l = 10$ cm, $g_0 = 10$ cm $^{-1}$

- ▶ Divergence výstupního svazku je dána geometrií aktivního prostředí
- ▶ Je tím menší, čím je menší apertura a čím je delší aktivní prostředí

- ▶ Ke generaci záření na principu stimulované emise může docházet i v případě, kdy není použit laserový rezonátor

- ▶ Ke generaci záření na principu stimulované emise může docházet i v případě, kdy není použit laserový rezonátor
- ▶ Laserová generace je v takovém případě založena na zesilování spontánní emise v prostředí, které má tvar dlouhého sloupce, jehož zisk je dostatečně velký k tomu, aby se spontánní záření vysílané ve směru osy sloupce zesílilo při jednom průchodu natolik, že dochází k saturaci zesílení

- ▶ Ke generaci záření na principu stimulované emise může docházet i v případě, kdy není použit laserový rezonátor
- ▶ Laserová generace je v takovém případě založena na zesilování spontánní emise v prostředí, které má tvar dlouhého sloupce, jehož zisk je dostatečně velký k tomu, aby se spontánní záření vysílané ve směru osy sloupce zesílilo při jednom průchodu natolik, že dochází k saturaci zesílení
- ▶ Stupeň koherence i rozbíhavost svazku jsou dány geometrickými vlastnostmi prostoru, které aktivní prostředí zaplňuje

- ▶ Ke generaci záření na principu stimulované emise může docházet i v případě, kdy není použit laserový rezonátor
- ▶ Laserová generace je v takovém případě založena na zesilování spontánní emise v prostředí, které má tvar dlouhého sloupce, jehož zisk je dostatečně velký k tomu, aby se spontánní záření vysílané ve směru osy sloupce zesílilo při jednom průchodu natolik, že dochází k saturaci zesílení
- ▶ Stupeň koherence i rozbíhavost svazku jsou dány geometrickými vlastnostmi prostoru, které aktivní prostředí zaplňuje
- ▶ Záleží-li na vysokém stupni koherence a nízké rozbíhavosti, musí být poměr příčného rozměru sloupce a délky sloupce co nejmenší.

- ▶ Ke generaci záření na principu stimulované emise může docházet i v případě, kdy není použit laserový rezonátor
- ▶ Laserová generace je v takovém případě založena na zesilování spontánní emise v prostředí, které má tvar dlouhého sloupce, jehož zisk je dostatečně velký k tomu, aby se spontánní záření vysílané ve směru osy sloupce zesílilo při jednom průchodu natolik, že dochází k saturaci zesílení
- ▶ Stupeň koherence i rozbíhavost svazku jsou dány geometrickými vlastnostmi prostoru, které aktivní prostředí zaplňuje
- ▶ Záleží-li na vysokém stupni koherence a nízké rozbíhavosti, musí být poměr příčného rozměru sloupce a délky sloupce co nejmenší.
- ▶ Lasery bez zrcadel se realizují zejména tehdy,

- ▶ Ke generaci záření na principu stimulované emise může docházet i v případě, kdy není použit laserový rezonátor
- ▶ Laserová generace je v takovém případě založena na zesilování spontánní emise v prostředí, které má tvar dlouhého sloupce, jehož zisk je dostatečně velký k tomu, aby se spontánní záření vysílané ve směru osy sloupce zesílilo při jednom průchodu natolik, že dochází k saturaci zesílení
- ▶ Stupeň koherence i rozbíhavost svazku jsou dány geometrickými vlastnostmi prostoru, které aktivní prostředí zaplňuje
- ▶ Záleží-li na vysokém stupni koherence a nízké rozbíhavosti, musí být poměr příčného rozměru sloupce a délky sloupce co nejmenší.
- ▶ Lasery bez zrcadel se realizují zejména tehdy,
 - ▶ když je doba života na horní energetické hladině krátká (když je doba oběhu záření v rezonátoru srovnatelná s dobou života excitovaného stavu),

- ▶ Ke generaci záření na principu stimulované emise může docházet i v případě, kdy není použit laserový rezonátor
- ▶ Laserová generace je v takovém případě založena na zesilování spontánní emise v prostředí, které má tvar dlouhého sloupce, jehož zisk je dostatečně velký k tomu, aby se spontánní záření vysílané ve směru osy sloupce zesílilo při jednom průchodu natolik, že dochází k saturaci zesílení
- ▶ Stupeň koherence i rozbíhavost svazku jsou dány geometrickými vlastnostmi prostoru, které aktivní prostředí zaplňuje
- ▶ Záleží-li na vysokém stupni koherence a nízké rozbíhavosti, musí být poměr příčného rozměru sloupce a délky sloupce co nejmenší.
- ▶ Lasery bez zrcadel se realizují zejména tehdy,
 - ▶ když je doba života na horní energetické hladině krátká (když je doba oběhu záření v rezonátoru srovnatelná s dobou života excitovaného stavu),
 - ▶ když nelze realizovat optický rezonátor.

- ▶ Ke generaci záření na principu stimulované emise může docházet i v případě, kdy není použit laserový rezonátor
- ▶ Laserová generace je v takovém případě založena na zesilování spontánní emise v prostředí, které má tvar dlouhého sloupce, jehož zisk je dostatečně velký k tomu, aby se spontánní záření vysílané ve směru osy sloupce zesílilo při jednom průchodu natolik, že dochází k saturaci zesílení
- ▶ Stupeň koherence i rozbíhavost svazku jsou dány geometrickými vlastnostmi prostoru, které aktivní prostředí zaplňuje
- ▶ Záleží-li na vysokém stupni koherence a nízké rozbíhavosti, musí být poměr příčného rozměru sloupce a délky sloupce co nejmenší.
- ▶ Lasery bez zrcadel se realizují zejména tehdy,
 - ▶ když je doba života na horní energetické hladině krátká (když je doba oběhu záření v rezonátoru srovnatelná s dobou života excitovaného stavu),
 - ▶ když nelze realizovat optický rezonátor.
- ▶ Běžně se setkáváme s dusíkovým laserem (337 nm) a excimerovými lasery, které pracují v ultrafialové oblasti a jsou buzeny pulzním elektrickým výbojem nebo svazky rychlých elektronů

- ▶ Přírodním úkazem je „vesmírný“ nebo „interstelární“ laser, kde nerovnovážné mezihvězdné plazma slouží jako aktivní prostředí. Vysvětlují se tím pozorované intenzivní vodíkové čáry, přicházející z některých směrů mezihvězdného prostoru

- ▶ Přírodním úkazem je „vesmírný“ nebo „interstelární“ laser, kde nerovnovážné mezihvězdné plazma slouží jako aktivní prostředí. Vysvětlují se tím pozorované intenzivní vodíkové čáry, přicházející z některých směrů mezihvězdného prostoru
- ▶ Předmětem intenzivního teoretického i experimentálního zkoumání jsou rentgenové lasery. Řešení zrcadel pro tuto oblast není jednoduchým problémem. Všechny dosavadní realizace rentgenových laserů byly založeny na principu zesílené spontánní emise.

- ▶ Přírodním úkazem je „vesmírný“ nebo „interstelární“ laser, kde nerovnovážné mezihvězdné plazma slouží jako aktivní prostředí. Vysvětlují se tím pozorované intenzivní vodíkové čáry, přicházející z některých směrů mezihvězdného prostoru
- ▶ Předmětem intenzivního teoretického i experimentálního zkoumání jsou rentgenové lasery. Řešení zrcadel pro tuto oblast není jednoduchým problémem. Všechny dosavadní realizace rentgenových laserů byly založeny na principu zesílené spontánní emise.
- ▶ Laserová generace bez zrcadel však může mít i negativní následky. Zesilování spontánní emise v jiném, než osovém směru může představovat ztráty na energii uložené v aktivním prostředí a to zejména ve velkoobjemových laserových zesilovačích nebo v laserech pracujících v režimu Q-spínání, kde je cíleně dosahováno vysokého zisku.

- ▶ Koherentní šíření impulzů rezonančním prostředím

- ▶ Koherentní šíření impulzů rezonančním prostředím
 - ▶ Invariant šíření

$$\frac{\mathcal{P}_2^2}{|\bar{d}_{21}|^2} + N^2 = \text{konst.} = r^2,$$

▶ Koherentní šíření impulzů rezonančním prostředím

▶ Invariant šíření

$$\frac{P_2^2}{|\vec{d}_{21}|^2} + N^2 = \text{konst.} = r^2,$$

▶ Plocha impulzu a Rabiho frekvence

$$\theta = \psi(\infty) - \psi(-\infty) = \int_{-\infty}^{\infty} \frac{|\vec{d}_{21}|}{\hbar} \mathcal{E}(t) dt.$$

$$\Omega = \frac{\partial \psi}{\partial t} = \frac{|\vec{d}_{21}|}{\hbar} \mathcal{E}(t).$$

- ▶ Koherentní šíření impulzů rezonančním prostředím

- ▶ Invariant šíření

$$\frac{P_2^2}{|\vec{d}_{21}|^2} + N^2 = \text{konst.} = r^2,$$

- ▶ Plocha impulzu a Rabiova frekvence

$$\theta = \psi(\infty) - \psi(-\infty) = \int_{-\infty}^{\infty} \frac{|\vec{d}_{21}|}{\hbar} \mathcal{E}(t) dt.$$

$$\Omega = \frac{\partial \psi}{\partial t} = \frac{|\vec{d}_{21}|}{\hbar} \mathcal{E}(t).$$

- ▶ Samoindukovaná propustnost s sine-Gordonova rovnice

- ▶ Koherentní šíření impulzů rezonančním prostředím

- ▶ Invariant šíření

$$\frac{P_2^2}{|\vec{d}_{21}|^2} + N^2 = \text{konst.} = r^2,$$

- ▶ Plocha impulzu a Rabiova frekvence

$$\theta = \psi(\infty) - \psi(-\infty) = \int_{-\infty}^{\infty} \frac{|\vec{d}_{21}|}{\hbar} \mathcal{E}(t) dt.$$

$$\Omega = \frac{\partial \psi}{\partial t} = \frac{|\vec{d}_{21}|}{\hbar} \mathcal{E}(t).$$

- ▶ Samoindukovaná propustnost s sine-Gordonova rovnice
- ▶ Fotonové echo a optická nutace

- ▶ Koherentní šíření impulzů rezonančním prostředím

- ▶ Invariant šíření

$$\frac{P_2^2}{|\vec{d}_{21}|^2} + N^2 = \text{konst.} = r^2,$$

- ▶ Plocha impulzu a Rabiova frekvence

$$\theta = \psi(\infty) - \psi(-\infty) = \int_{-\infty}^{\infty} \frac{|\vec{d}_{21}|}{\hbar} \mathcal{E}(t) dt.$$

$$\Omega = \frac{\partial \psi}{\partial t} = \frac{|\vec{d}_{21}|}{\hbar} \mathcal{E}(t).$$

- ▶ Samoindukovaná propustnost s sine-Gordonova rovnice
 - ▶ Fotonové echo a optická nutace
 - ▶ Superradiace a superluminescence

- ▶ Koherentní šíření impulzů rezonančním prostředím

- ▶ Invariant šíření

$$\frac{P_2^2}{|\vec{d}_{21}|^2} + N^2 = \text{konst.} = r^2,$$

- ▶ Plocha impulzu a Rabiova frekvence

$$\theta = \psi(\infty) - \psi(-\infty) = \int_{-\infty}^{\infty} \frac{|\vec{d}_{21}|}{\hbar} \mathcal{E}(t) dt.$$

$$\Omega = \frac{\partial \psi}{\partial t} = \frac{|\vec{d}_{21}|}{\hbar} \mathcal{E}(t).$$

- ▶ Samoindukovaná propustnost s sine-Gordonova rovnice
- ▶ Fotonové echo a optická nutace
- ▶ Superradiace a superluminiscence
- ▶ Zesílená spontánní emise (ZSE, ASE)

- ▶ Koherentní šíření impulzů rezonančním prostředím

- ▶ Invariant šíření

$$\frac{P_2^2}{|\vec{d}_{21}|^2} + N^2 = \text{konst.} = r^2,$$

- ▶ Plocha impulzu a Rabiho frekvence

$$\theta = \psi(\infty) - \psi(-\infty) = \int_{-\infty}^{\infty} \frac{|\vec{d}_{21}|}{\hbar} \mathcal{E}(t) dt.$$

$$\Omega = \frac{\partial \psi}{\partial t} = \frac{|\vec{d}_{21}|}{\hbar} \mathcal{E}(t).$$

- ▶ Samoindukovaná propustnost s sine-Gordonova rovnice
- ▶ Fotonové echo a optická nutace
- ▶ Superradiace a superluminiscence
- ▶ Zesílená spontánní emise (ZSE, ASE)
- ▶ Lasery na bázi ZSE a měkký práh

$$\frac{a^2}{4I^2} e^{gI} \gg 1,$$

- ▶ Koherentní šíření impulzů rezonančním prostředím

- ▶ Invariant šíření

$$\frac{P_2^2}{|\vec{d}_{21}|^2} + N^2 = \text{konst.} = r^2,$$

- ▶ Plocha impulzu a Rabiho frekvence








$$\theta = \psi(\infty) - \psi(-\infty) = \int_{-\infty}^{\infty} \frac{|\vec{d}_{21}|}{\hbar} \mathcal{E}(t) dt.$$

$$\Omega = \frac{\partial \psi}{\partial t} = \frac{|\vec{d}_{21}|}{\hbar} \mathcal{E}(t).$$

- ▶ Samoindukovaná propustnost s sine-Gordonova rovnice
- ▶ Fotonové echo a optická nutace
- ▶ Superradiace a superluminiscence
- ▶ Zesílená spontánní emise (ZSE, ASE)
- ▶ Lasery na bázi ZSE a měkký práh

$$\frac{a^2}{4I^2} e^{gI} \gg 1,$$

- ▶ Příště: Přitahování frekvencí. Spektrum laserového záření. Modelocking

-  VRBOVÁ M., ŠULC J.: *Interakce rezonančního záření s látkou*, Skriptum FJFI ČVUT, Praha, 2006
-  LOUISELL, W. H.: *Quantum statistical properties of radiation*, John Wiley & Sons, New York, 1973
-  LEONARD MANDEL, EMIL WOLF : *Optical Coherence and Quantum Optics*, Cambridge University Press, New York, 1995
-  VRBOVÁ M. a kol.: *Lasery a moderní optika - Oborová encyklopedie*, Prometheus, Praha, 1994
-  VRBOVÁ M., JELÍNKOVÁ H., GAVRILOV P.: *Úvod do laserové techniky*, Skriptum FJFI ČVUT, Praha, 1994 <http://people.fjfi.cvut.cz/sulcjan1/ulat/>
-  LONČAR, G.: *Elektrodynamika I*, Skriptum FJFI ČVUT, Praha, 1990
-  Přednášky: <http://people.fjfi.cvut.cz/sulcjan1/FLA/>